

Experimental Study on Finding Reliable Connectors for Infill-frame Connection in Infilled Steel Frame

S. A. Asadzadeh¹, M. Mohammadi², N. K. A. Attari³, S. A. Zareei¹

¹ Department of Civil Engineering, Isfahan (Khorasgan) Branch, Islamic Azad University, Isfahan, Iran

² DStructural Engineering Research Center, International Institute of Earthquake Engineering and Seismology (IIEES), Tehran, Iran

³ Department of Structural Engineering, Road, Housing & Urban Development Research Center, Tehran, Iran

ABSTRACT: During earthquakes, infill walls are imposed to in-plane (IP) and out-of-plane (OOP) seismic loads. After some in-plane seismic vibrations, the worst case for out-of-plane stability of the infill appears when there is the least integrity in the frame-to-wall connections. Using some kind of reliable connectors for frame-to-wall connection is an innovative method to improve their IP and OOP seismic behavior. Noting that the literature on infilled frames has not focused on this subject yet, the present research was carried out with the purpose of introducing a kind of reliable and efficient frame-to-wall connector and to study its effects on IP and OOP behavior of the infilled frames and the infills. Four half-scale single-story single-bay specimens, including one bare frame, an infill wall and two infilled steel frames having walls of autoclave-cured aerated concrete (AAC) blocks, were tested under IP and OOP cyclic displacement controlled loading. The specimens were tested to investigate their failure modes, strength, stiffness degradation, damage evolution in frame and infill, cracking patterns of infill, energy dissipation capacity and out-of-plane displacement of infills. The experimental results revealed that the V-type connectors showed good and reliable interaction as far as the safety issues were concerned. Therefore, such types of fasteners can be used as kinds of promising reliable frame-to-wall connectors for AAC infill panels.

Review History:

Received: Jul. 22, 2020

Revised: Jan. 08, 2020

Accepted: Jan. 08, 2020

Available Online: Jan. 18, 2020

Keywords:

Infilled Steel Frame

Infill Wall Connection Type

Reliable Connectors

In-plane and Out of Plane Tests

Autoclave-Cured Aerated Concrete.

1- Introduction

Unreasonable infill walls-to-frame connection type constitutes one of the reasons for the failure of the infill walls in addition to the quality of the latter. Presentation of details of an appropriate and reliable infill-frame connection can obviate a part of the existing weakness of the infill walls to be used in buildings. The very few studies conducted in this area have investigated the effect of connection types on the in-plane behavior of the infilled frames only [1]. Indeed, the previous damage caused by in-plane loading seriously decreases the out-of-plane resistance and stability of the infills.

Investigation of the effect of in-plane interactions on the out-of-plane response of the thin unreinforced masonry (URM) infills [2], Experimental results of reinforced concrete frames with masonry infills under combined in-plane and out-of-plane seismic loading [3], experimental investigation on the influence of the aspect ratio (w/h ratio) on the in-plane/out-of-plane interaction for masonry infills in RC frames are among the latest research conducted in this arena but, the role of infill-frame connection type on in-plane/out-of-plane behavior of infills.

The present study was carried out aiming to investigate the effect of the infill-frame connection type on the behavior of the steel infills in order to find a type of safe and efficient

connector. For this purpose, two specimens, CINF-0 and CINF-V were first exposed to the cyclic in-plane loading with controlled displacement up to 4% drift. Then, the in-plane loading was stopped and, when the infill returned to its normal position, the infill for the mentioned specimen (without previous damage) was tested under out-of-plane loading protocol. The BF (Bare Frame) control specimens and WNPD (with no previous damage) specimens were tested to compare the in-plane and out-of-plane experimental results, respectively. The objective was to find a reliable infill-frame connection type.

2- Methodology

The experiments were carried out in the Iran Road, Housing & Urban Development Research Center. The specimen infills were autoclave-cured aerated concrete (AAC) blocks. The blocks were attached to each other using thin steel plates and iron pins were used in even rows. For the purpose of this research, polyurethane glue was used for connecting the blocks in horizontal and vertical bed-joints.

In CINF-0 and WNPD the AAC blocks were connected to the beam and column of the infill (Figure 1a). In CINF-V, V-shaped steel connectors were used to connect the infill to the frame at one-third of the height of the infill from top and bottom. In this specimen, the infill was surrounded by 2L40×4. The out-of-plane stability of the infill wall was

*Corresponding author's email: M.Mohammadigh@iiees.ac.ir



Copyrights for this article are retained by the author(s) with publishing rights granted to Amirkabir University Press. The content of this article is subject to the terms and conditions of the Creative Commons Attribution 4.0 International (CC-BY-NC 4.0) License. For more information, please visit <https://www.creativecommons.org/licenses/by-nc/4.0/legalcode>.

provided by a number of steel plates welded to the column and beam flanges from both sides and in contact with the confining angle as lateral support (Figure 1b). Table 1 presents the details of the specimens. The amplitude, number of cycles and extent of loading were set according to FEMA 461 [4]. The out-of-plane loading protocol on the center of the wall was set according to the approach employed by the researchers [5].

3- Results and Discussion

The ratio of the strength of the tested specimens to that of BF and CINF-0 for relative slides of the story as 0.8%, 2.5% and 3.5% are provided in Table 2. The details provided by Table 2 reveal that the CINF-0 shows the highest strength increase equal to 87% at drift of 0.8% compared to specimen BF. This rate declined at 2.5% drift due to the evolution of damage in the wall and reached 32%. Noting the extent of

Table 1. Information of the test specimens

Specime n	Wall type	Wall thickness (mm)	Mortar and glue	Wall connection type	Connector type	IP test	OOP test	
							(a)	(b)
BF	-	-	-	-	-	Yes	No	No
WNPD	block	100	Polyurethane	Infill	Type -A	No	Yes	No
CINF-0	block	100	Polyurethane	Infill	Type -A	Yes	No	Yes
CINF-V	block	100	Polyurethane	Infill	Type -V	Yes	No	Yes

(a) With no previous IP damage; (b) With previous IP damage

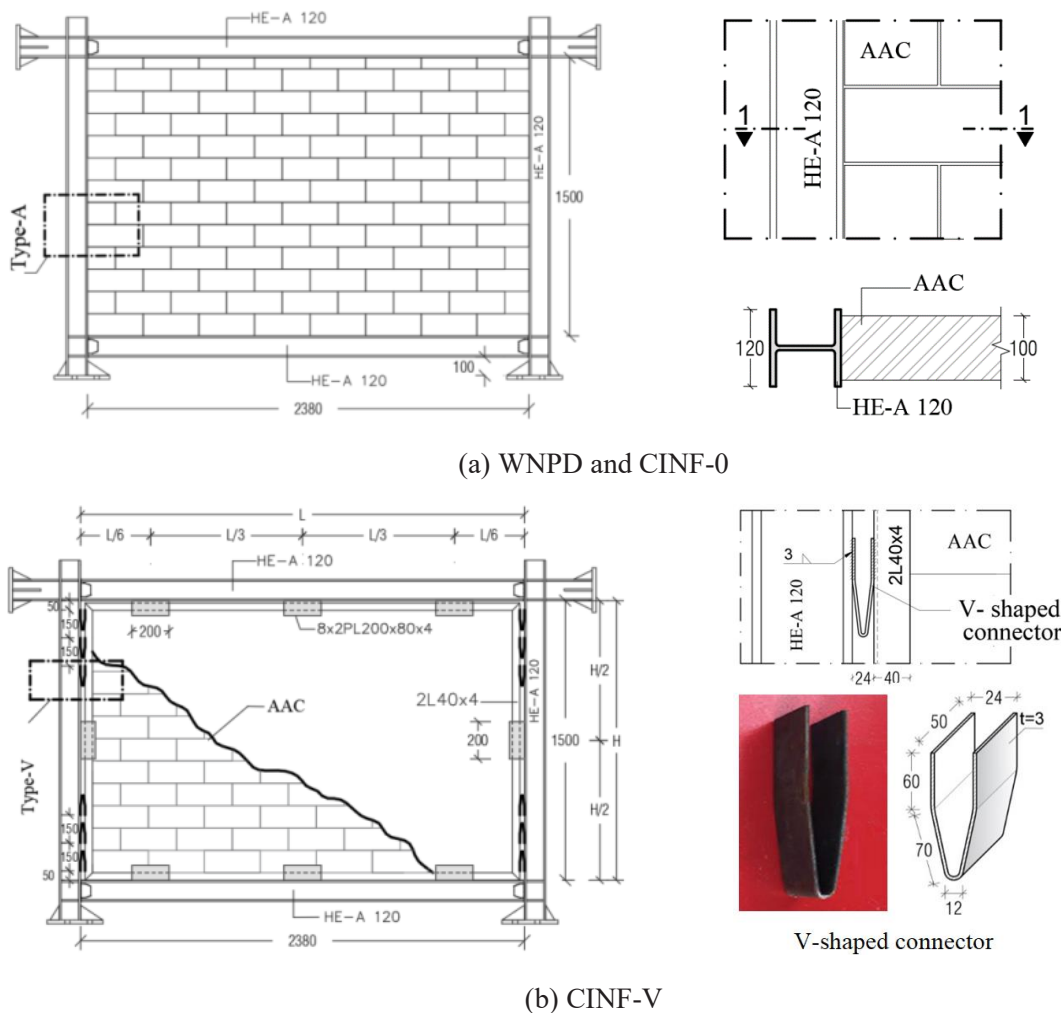


Fig. 1. Detailed dimensions and configurations of specimens (unit: mm)

Table 2. Comparing the ratio of IP strength in the infilled frames to that of BF and CINF-0

Specimen	Loading direction	0.8% drift			2.5% drift			3.5% drift		
		P(kN)	Ratio (a)	(b)	P(kN)	Ratio (a)	(b)	P(kN)	Ratio (a)	(b)
BF	Average	31.4	1.00	0.53	78.3	1.00	0.76	87.9	1.00	0.74
CINF-0	+	58.8			104.6			120.2		
	-	58.9	1.87	1.00	101.9	1.32	1.00	117.0	1.35	1.00
	Average	58.85			103.2			118.6		
CINF-V	+	39.9			97.8			123.7		
	-	37.2	1.23	0.66	97.1	1.24	0.94	122.6	1.40	1.04
	Average	38.6			97.5			123.2		

(a) Bare frame, (b) CINF-0

the damages imposed on infills, the strength increase for CINF-0 will not be usable at the performance levels of Immediate Occupancy (IO) and Life Safety (LS) [6] when earthquakes happen.

The CINF-V increased the infill strength of the infilled frame for 23% compared to that of BF specimen at drift of 23%. This increase continued as displacement increased such that at 3.5% drift, without observing any damage in the infill wall, the strength increase in this specimen compared to BF reached 40%.

The ratio of OOP strength in infilled specimens to that of WNPD are provided in "Figure 2" the results show that the previous damage caused by in-plane loading led to decrease in out-of-plane strength of the specimens but, the least out-of-plane strength decrease is recorded for CINF-V. In this specimen, the performance of V-shaped connectors results in improvement of out-of-plane behavior of the related infills.

Comparison of the initial stiffness of the specimens and ratio of stiffness degradation of the specimens at 0.8%, 2.5% and 3.5% drifts with that of specimen BF revealed that the initial stiffness increase ratio for CINF-V to specimen BF was 15% while the initial stiffness for CINF-0 was 3.02 times as much as the BF stiffness. The ratio of stiffness of CINF-V to that of BF at drift of 2.5% was 0.94. In other words, for this specimen, not only the initial stiffness increase is not notable but the frame stiffness degradation is compensated by the infill remaining safe at LS level (at 2.5% drift).

4- Conclusions

As the most important finding of this research, it can be put forward that using of appropriate and reliable Infill-frame Connection Type has positive effects in prevention of unfavorable effects of infill-frame interactions in infilled frames. According to the experimental results, V-shaped connectors showed good and reliable cooperative behavior as far as safety was concerned. The results of the experiments revealed that using these types of connectors causes the infills to remain safe up to LS (2.5% drift) level [6], the strength of the unfilled frames to increase, the stiffness degradation and strength decrease after drift of 2.5% to be compensated and the out-of-plane stability of the infills to be sufficiently provided. Therefore, V-shaped connectors can be presented as reliable and efficient Infill-frame Connection Type.

References

- [1] J. Wang, B. Li, Cyclic testing of square CFST frames with ALC panel or block walls, Journal of Constructional Steel Research, 130 (2017) 264-279.
- [2] P. Ricci, M. Di Domenico, G.M. Verderame, Experimental assessment of the in-plane/out-of-plane interaction in unreinforced masonry infill walls, Engineering Structures, 173 (2018) 960-978.
- [3] M.T. De Risi, M. Di Domenico, P. Ricci, G.M. Verderame, G. Manfredi, Experimental investigation on the influence of the aspect ratio on the in-plane/out-of-plane interaction for masonry infills in RC frames, Engineering Structures, 189 (2019) 523-540.

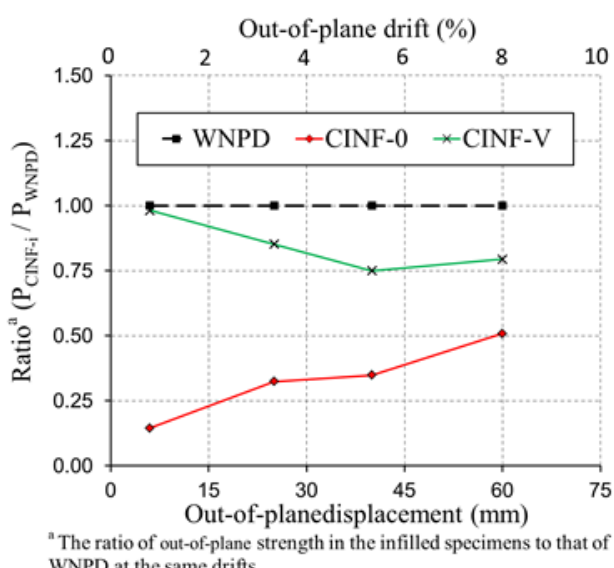


Fig. 2. Comparing the out-of-plane strength of the infilled specimens with that of WNPD

- [4] A.T. Council, M.-A.E. Center, M.C.f.E.E. Research, P.E.R. Center, N.E.H.R. Program, Interim Testing Protocols for Determining the Seismic Performance Characteristics of Structural and Nonstructural Components, Federal Emergency Management Agency, 2007.
- [5] A. Furtado, H. Rodrigues, A. Arêde, H. Varum, Experimental evaluation of out-of-plane capacity of masonry infill walls, *Engineering Structures*, 111 (2016) 48-63.
- [6] FEMA 356, Prestandard and commentary for the seismic rehabilitation of buildings, ASCE, 2000.

HOW TO CITE THIS ARTICLE

S. A. Asadzadeh, M. Mohammadi, N. K. A. Attari, S. A. Zareei, Experimental Study on Finding Reliable Connectors for Infill-frame Connection in Infilled Steel Frame, Amirkabir J. Civil Eng., 53(12) (2022) 1131-1134.

DOI: [10.22060/ceej.2021.18761.6953](https://doi.org/10.22060/ceej.2021.18761.6953)





مطالعه آزمایشگاهی به منظور یافتن اتصال دهنده قابل اعتماد برای اتصال میان قاب به قاب در قاب‌های فولادی میان پر

صاحب‌الی اسدزاده^۱، سید علیرضا زارعی^۱، مجید محمدی^{۲*}، نادر خواجه احمد عطاری^۳

۱- دانشگاه آزاد اسلامی، واحد اصفهان (خوارسگان)، اصفهان، ایران

۲- پژوهشگاه بین المللی زلزله شناسی و مهندسی زلزله، تهران، ایران

۳- مرکز تحقیقات راه، مسکن و شهرسازی، تهران، ایران

تاریخچه داوری:

دریافت: ۱۳۹۹/۰۵/۰۱

بازنگری: ۱۳۹۹/۱۰/۱۹

پذیرش: ۱۳۹۹/۱۰/۱۹

ارائه آنلاین: ۱۳۹۹/۱۰/۱۹

کلمات کلیدی:

قاب میان پر فولادی

نوع اتصال دیوار میان قاب

اتصال دهنده قابل اعتماد

آزمایش‌های داخل صفحه و خارج

از صفحه

بلوک‌های بتن سبک اتوکلاو شده

(AAC)

خلاصه: در هنگام زلزله، میان قاب‌ها در معرض تحريك‌های داخل صفحه و خارج از صفحه قرار می‌گیرد. بعد از چند دور ارتعاش در داخل صفحه، نامناسب‌ترین حالت در مقاومت خارج از صفحه میان قاب زمانی است که حداقل یکپارچگی در محل اتصال میان قاب- قاب رخ می‌دهد. به کارگیری اتصال دهنده قابل اعتماد برای اتصال میان قاب به قاب به عنوان یک راه حل ابداعی، در بهبود رفتار لرزه‌ای داخل صفحه و خارج از صفحه میان قاب‌ها بسیار موثر است در حالی که در ادبیات فنی قاب‌های میان پر به طور جدی به بررسی این موضوع پرداخته نشده است. در این مطالعه، نتایج بررسی آزمایشگاهی با هدف معرفی یک اتصال دهنده کارآمد و قابل اعتماد برای اتصال میان قاب به قاب و بررسی تأثیر آن در رفتار داخل صفحه و خارج از صفحه قاب‌های میان پر و میان قاب ارائه شده است. چهار نمونه یک طبقه و تک دهانه در مقیاس نیمه شامل یک قاب فولادی خالی، یک دیوار میان قاب بدون آسیب قبلی داخل صفحه و دو قاب فولادی میان پر با دیوار بلوک‌های بتن سبک اتوکلاو شده، تحت بارگذاری‌های چرخه‌ای داخل صفحه و خارج از صفحه با جابه‌جایی کنترل شده آزمایش شدند. نمونه‌ها با توجه به مودهای شکست، مقاومت، زوال سختی، گسترش خسارت در قاب و میان قاب، الگوی ترک‌خوردگی میان قاب، ظرفیت استهلاک انرژی و پروفیل جابه‌جایی خارج از صفحه میان قاب مقایسه شدند. بر اساس نتایج آزمایشگاهی اتصال دهنده‌های VII شکل رفتار تعاملی خوب و قابل اطمینانی را از نظر اینمی از خود نشان دادند، بنابراین این ادوات اتصال می‌توانند نوید بخش ارائه یک اتصال دهنده قابل اعتماد برای اتصال دیوار میان قاب به قاب باشند.

۱- مقدمه

دهانه‌های مجاور [۶]، بارهای ثقلی [۸ و ۷]، میان قاب‌های دارای بازشو [۱۰ و ۹]، نسبت طول به ارتفاع دیوار و انواع مختلف مصالح میان قاب [۱۱] و میان قاب با ارتفاع ناقص [۱۲] در رفتار قاب‌های میان پر مطرح و بررسی شد. اندرکنش قاب و میان قاب در قاب میان پر دارای اثرات مثبت و منفی روی قاب، میان قاب و رفتار کلی ساختمان است. در طی دو دهه اخیر، به منظور استفاده از اثرات مثبت دیوارهای میان قاب و کاهش اثرات مضر آن‌ها تحقیقاتی همچون، مقاوم‌سازی دیوارهای میان قاب با استفاده از پلیمرهای مسلح شده با الیاف (FRP) [۱۳]، تقویت دیوار میان قاب با اضافه کردن مش مسلح در یک یا دو سطح دیوار [۱۴]، مقاوم‌سازی میان قاب با استفاده از کامپوزیت‌های سیمانی مهندسی به عنوان روکش در سطح دیوار [۱۵]، تاثیر ترمیم میان قاب‌های آسیب دیده در رفتار قاب‌های میان پر [۱۶ و ۱۷]، ایده‌های نوین جهت ارائه پیکربندی جدید برای قاب‌های میان پر مهندسی [۱۸]،

درصد بالایی از ساختمان‌ها شامل یک سازه بتن آرمه یا اسکلت فولادی هستند که در آن‌ها فضای بین قاب‌ها به طور کامل و یا بخشی از آن با دیوارهای مصالح بنایی (میان قاب) پر می‌شوند. واقعیت این است که میان قاب‌ها در حین زلزله با قاب محصور کننده خود اندرکنش دارند و این اندرکنش سختی، مقاومت، رفتار لرزه‌ای و عملکرد سازه‌ای قاب‌های میان پر را تغییر می‌دهد. جهت‌گیری تحقیقات اولیه در رفتار قاب‌های میان پر در راستای تعیین مقدار سختی و مقاومت قاب‌های میان پر [۱۱]، ارائه عضو جایگزین برای میان قاب و تعیین مشخصات آن [۱۲ و ۲]، ارائه مدل ریاضی برای بیان رفتار میان قاب و تعیین تنش‌های داخلی میان قاب [۵ و ۴] بود.

در تحقیقات تكمیلی تاثیر متغیرهای متعدد همچون، تعداد

* نویسنده عهده‌دار مکاتبات: M.Mohammadigh@iiees.ac.ir

حقوق مؤلفین به نویسنده‌گان و حقوق ناشر به انتشارات دانشگاه امیرکبیر داده شده است. این مقاله تحت لیسانس آفرینندگی مردمی (Creative Commons License) در دسترس شما قرار گرفته است. برای جزئیات این لیسانس، از آدرس <https://www.creativecommons.org/licenses/by-nc/4.0/legalcode> دیدن فرمائید.



تحقیقات نقش اتصال دهنده‌های دیوار میان‌قاب به قاب در رفتار داخل صفحه قاب و خارج از صفحه میان‌قاب بررسی نشده است. این مطالعه آزمایشگاهی با هدف بررسی نقش اتصال دهنده‌های میان‌قاب به قاب در رفتار قاب میان‌پر فولادی و در راستای معرفی یک نوع اتصال ایمن و کارآمد، انجام شد. به هنگام وقوع زمین لرزه با توجه به جهت نیروی موثر زلزله به ساختمان و تاریخچه بارگذاری سه حالت مختلف ۱) بارگذاری داخل صفحه زودتر از بارگذاری خارج از صفحه ۲) بارگذاری هم زمان داخل صفحه و خارج از صفحه^۳ ۳) بارگذاری خارج از صفحه زودتر از بارگذاری داخل صفحه، برای قاب‌های میان‌پر قابل پیش‌بینی است. آسیب قبلی ناشی از بارگذاری داخل صفحه، به شدت مقاومت و پایداری خارج از صفحه میان‌قاب را کاهش می‌دهد و حالت خرابی دیوار میان‌قاب را تعییر می‌دهد که می‌تواند منجر به سقوط فروریزشی آن شود [۳۰]. بعد از چند سیکل بارگذاری داخل صفحه بدترین حالت در مقاومت خارج از صفحه میان‌قاب زمانی است که حداقل یکپارچگی بین قاب و میان‌قاب رخ می‌دهد، که نباید از آن غافل شد. در این پژوهش مطابق رویکرد به کارگرفته شده در مرجع [۲۵]، برای نمونه‌های آزمایشگاهی حالت بارگذاری داخل صفحه زودتر از بارگذاری خارج از صفحه، در نظر گرفته شد تا تأثیر آسیب قبلی ناشی از بارگذاری داخل صفحه در رفتار خارج از صفحه دیوار میان‌قاب با در نظر گرفتن نحوه اتصال آن به قاب اصلی بررسی شود. برای این منظور دو نمونه CINF-0 و CINF-V ابتدا تحت بارگذاری چرخه‌ای داخل صفحه با جایه‌جایی کنترل شده تا رانش نسبی طبقه ۴٪ بارگذاری شد، سپس بارگذاری داخل صفحه متوقف گردید، وقتی قاب میان‌پر به حالت عادی خود برگشت، میان‌قاب نمونه مذکور (نمونه با آسیب قبلی) تحت پروتکل بارگذاری خارج از صفحه آزمایش شد. نمونه‌های شاهد BF (نمونه قاب خالی) و WNPD (نمونه بدون آسیب قبلی) به ترتیب برای مقایسه نتایج تجربی آزمایش‌های داخل صفحه و خارج از صفحه، آزمایش شدند. هدف یافتن اتصال دهنده قابل اعتماد برای اتصال دیوار میان‌قاب به قاب بود.

۲- برنامه آزمایشگاهی

۲-۱- نمونه‌های آزمایش

قاب نمونه‌های آزمایشگاهی بر اساس مشخصات طراحی شده

ارائه راه حل ساختاری برای به کارگیری اثرات مفید میان‌قاب [۱۹]، مطالعه و توسعه میان‌قاب‌های بنایی ابداعی [۲۰]، تأثیر جداسازی میان‌قاب از قاب [۲۱ و ۲۲]، تاثیر نحوه اتصال بلوک‌های AAC به قاب بتنی [۲۳] و اثر به کارگیری ادوات اتصال برای اتصال میان‌قاب به قاب [۲۴] در رفتار قاب‌های میان‌پر مطرح و بررسی شده است. چنین مطالعاتی بخشی از ضعف‌های موجود میان‌قاب‌ها را برای کاربرد آن‌ها در ساختمان‌ها برطرف می‌سازد و ایده‌های جدیدی را برای ابداع ابتکارات نوین در میان‌قاب‌ها فراهم می‌سازد.

دلایل شکست دیوارهای میان‌قاب، علاوه بر آن که به کیفیت دیوارهای میان‌قاب ارتباط دارد، به غیر منطقی بودن نوع اتصال بین پانل میان‌قاب و سازه اصلی بستگی دارد که عامل مهم دیگری در این مورد است. ارائه جزئیات اتصال مناسب و قاب اعتماد برای اتصال میان‌قاب به قاب و محدود کردن اثر متقابل قاب و میان‌قاب به سطوح خاص جایه‌جایی نسبی طبقه در قاب‌های میان‌پر می‌تواند بخشی از ضعف‌های موجود دیوارهای میان‌قاب را برای کاربرد آن‌ها در ساختمان‌ها برطرف سازد.

ارائه روش‌های کارآمد و مناسب، برای اتصال دیوار میان‌قاب به قاب و بررسی تأثیر آن‌ها در رفتار قاب‌های میان‌پر کمترین سهم را در ادبیات فنی قاب‌های میان‌پر دارد. در مطالعات محدودی که در این زمینه انجام شده است، تأثیر اتصال دهنده‌ها فقط در رفتار داخل صفحه قاب میان‌پر بررسی گردیده است [۲۴]. در حالی که آسیب قبلی ناشی از بارگذاری داخل صفحه، به شدت مقاومت و پایداری خارج از صفحه میان‌قاب را کاهش می‌دهد [۲۵]. انجام مطالعات آزمایشگاهی اندرکنش داخل صفحه و خارج از صفحه میان‌قاب‌ها با مصالح بنایی از جمله موضوعات روز مجامع علمی است. بررسی تأثیر کنش‌های داخل صفحه بر پاسخ خارج از صفحه میان‌قاب بنایی غیر مسلح (URM) نازک [۲۶]، پاسخ داخل صفحه و خارج از صفحه میان‌قاب نازک با مصالح بنایی توخالی (حفره‌ای) که به طور عرضی به هم وصل نمی‌شوند [۲۷]، بررسی آزمایشگاهی قاب‌های بتنی مسلح با میان‌قاب مصالح بنایی تحت اثر بارگذاری لرزه‌ای مشترک داخل صفحه و خارج از صفحه [۲۸]، تأثیر نسبت ابعاد میان‌قاب (عرض W) نسبت به ارتفاع (h) بر اندرکنش داخل صفحه و خارج از صفحه میان‌قاب‌ها با مصالح بنایی [۲۹]، از جمله آخرین تحقیقات انجام شده در این زمینه است، ولی در این

جدول ۱. فاکتورهای مقیاس در نمونه‌های قاب میان‌پر

Table 1. Scale Factors in Infilled Frame Specimens

نوع مشخصه	کمیت	بعد	مقیاس گذاری	فاکتور مقیاس
مصالح	نسبت پواسون	—	S_v	۱
مدول الاستیسیته	$ML^{-1}T^{-2}$	$ML^{-1}T^{-2}$	S_E	۱
کرنش	—	—	S_ϵ	۱
تنش	$ML^{-1}T^{-2}$	$ML^{-1}T^{-2}$	$S_\sigma = S_E$	۱
زاویه	—	—	S_β	۱
هندسی	طول	L	S_l	۰/۵۰
تعییرمکان	L	L	$S_x = S_l$	۰/۵۰
مساحت	L^2	L^2	$S_A = S_{l2}$	۰/۲۵
مان انرسی	L^4	L^4	$S_l = S_{l4}$	۰/۰۶۲۵
بارگذاری	بار مرکز و نیروی برشی	MLT^{-2}	$S_p = S_\sigma \times S_l^2 = S_l^2$	۰/۲۵
بار خطی	MT^{-2}	MT^{-2}	$S_q = S_\sigma \times S_l = S_l$	۰/۵۰
لنگ خمی	ML^2T^{-2}	ML^2T^{-2}	$S_M = S_p \times S_l = S_l^3$	۰/۱۲۵

S_l مقیاس طولی بوده که برابر ۰/۵۰ در نظر گرفته شد.

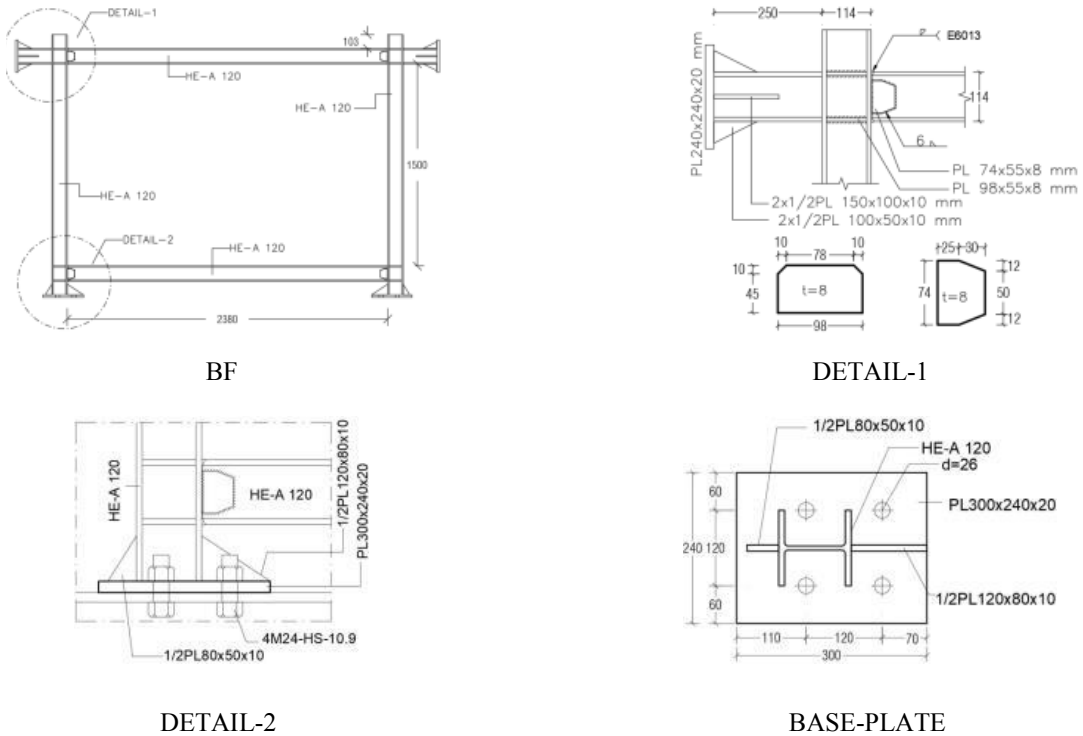
پارامترهای M، L و T به ترتیب ابعاد اساسی جرم، طول و زمان هستند.

حرارتی، عایق صوتی، مقاومت در برابر آتش سوزی، تسریع در اجراء باعث رونق چشمگیر این محصول به عنوان جدا کننده‌های داخلی و پیرامونی در ساختمانها گردیده است. عموماً در اجرای ساختمان‌ها از بلوک‌های AAC به ابعاد $100 \times 240 \times 600$ میلی‌مترمکعب در جدا کننده‌های پیرامونی استفاده می‌شود. با توجه به مقیاس نمونه‌ها، برای ساخت میان‌قاب‌ها از بلوک‌های AAC مقیاس شده به ابعاد $100 \times 120 \times 300$ میلی‌مترمکعب استفاده شد. بلوک‌ها در رج‌های زوج، توسط تسممهای فولادی نازک و میخ به هم متصل شدند، (شکل ۲).

برای اتصال بلوک‌های AAC به یکدیگر در محل تماس با یکدیگر در بخش بند سه نوع ملات متدالو شامل ملات متعارف ماسه سیمان، ملات لایه نازک اصلاح شده پلیمری (چسب AAC) و چسب پلی‌اورتان قابل استفاده است. با توجه به ابعاد بلوک‌های AAC و AAC ماهیت ملات ماسه سیمان امکان استفاده آن در سطح تماس قائم بلوک‌ها با یکدیگر محدود نیست، فقط در سطح تماس افقی بلوک با یکدیگر ملات ماسه سیمان قابل استفاده است. در صورتی که ملات

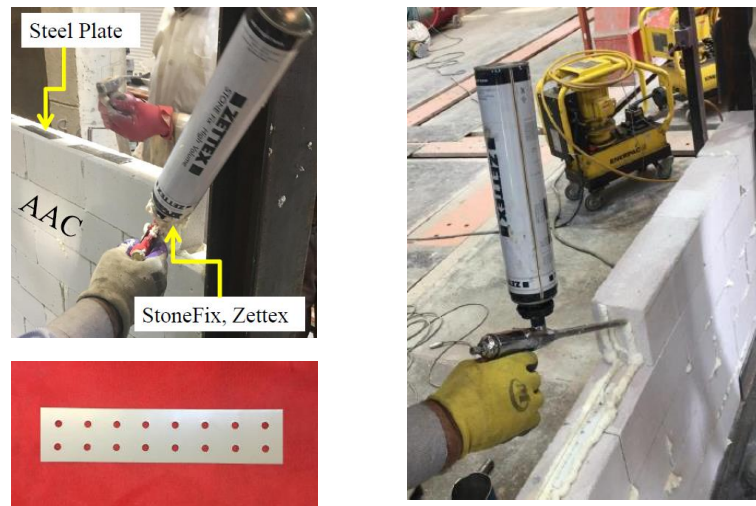
واقع‌گرانه یک ساختمان پنج طبقه واقع در شهر تهران با خاک نوع II، انتخاب شد. طراحی سازه فولادی اصلی بر اساس استاندارد AISC ۲۰۱۰ به روش حالت حدی صورت گرفت [۳۱ و ۳۲]. یک قاب از طبقه دوم ساختمان طراحی شده استخراج و خواص هندسی داده‌های آن مقیاس شدند. به لحاظ ملاحظات تامین بودجه و امکانات چنین تصمیم گرفته شد که انجام آزمایش در مقیاس ۱:۲ به جای مقیاس کامل باشد. فاکتورهای مقیاس مورد استفاده در جدول ۱ آمده است. با کمک این جدول امکان تبدیل نتایج نمونه‌های مقیاس شده به سیستم سازه با مقیاس کامل وجود دارد. سه قاب خمی فولادی یک طبقه تک دهانه یکسان با مقیاس ۱ به ۲ برای آزمایش‌های مربوطه ساخته شدند. برای اتصال تیر به ستون از اتصال گیردار تقویت نشده جوشی استفاده شد.

قاب نمونه آزمایشگاهی، جزئیات اتصال تیر به ستون و جزئیات اتصال پای ستون به کف صلب در شکل ۱ آمده است. میان‌قاب نمونه‌ها از بلوک‌های بتون سبک اتوکلاو شده (AAC) بودند. برخی از ویژگیهای مناسب بلوک‌های AAC از جمله سبکی وزن، عایق



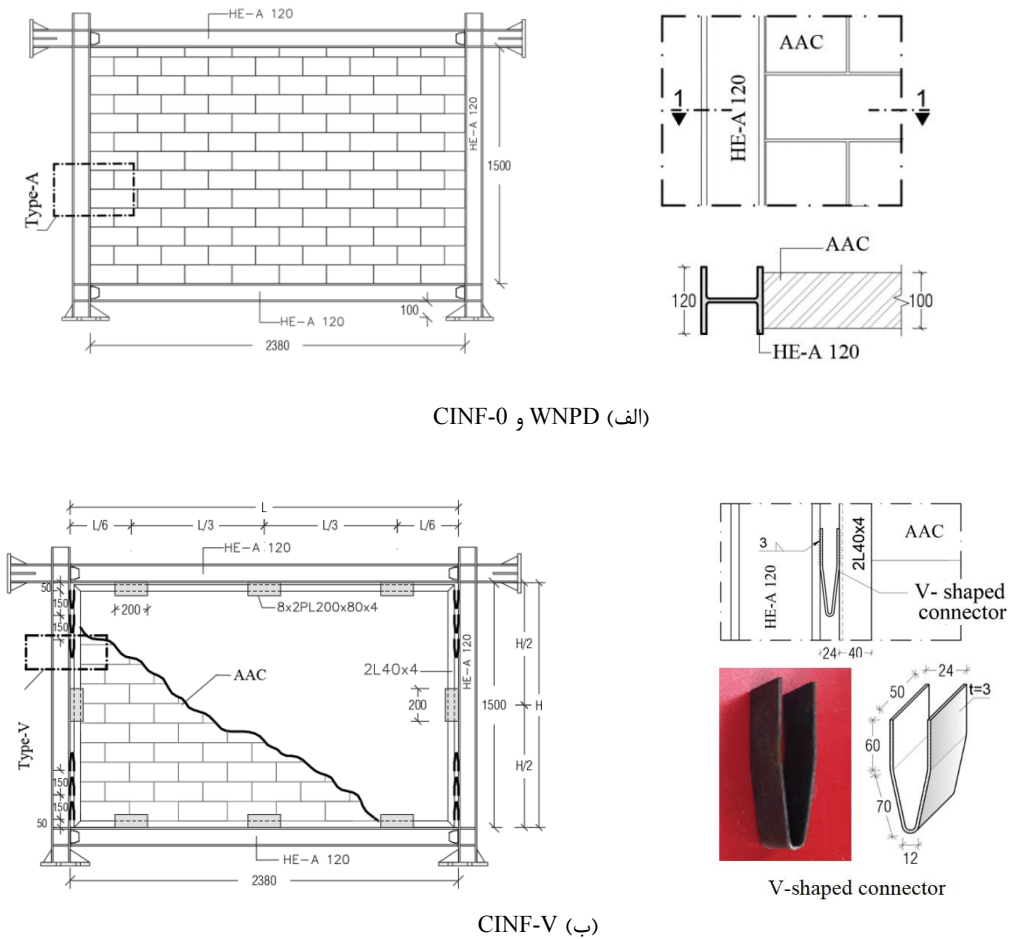
شکل ۱. قاب نمونه آزمایشگاهی-ابعاد به میلی‌متر

Fig. 1. Experimental frame specimen- dimensions in mm



شکل ۲. اجرای دیوار میان قاب با بلوک‌های AAC

Fig. 2. Construction of infilled wall using AAC blocks



شکل ۳. جزئیات ابعاد و پیکربندی نمونه‌ها (واحد: میلی متر)

Fig. 3. Detailed dimensions and configurations of specimens (unit: mm)

نمونه CINF-V برای اتصال میان قاب به قاب در یک سوم ارتفاع میان قاب در بالا و پائین، از اتصال دهنده های فولادی ۷ شکل که با خم شدن اجازه سر خوردن میان قاب را فراهم می کند، استفاده شد. در این نمونه میان قاب توسط $L=240 \times 4$ ممحصور گردید. با در نظر گرفتن رانش نسبی طبقه معادل $\frac{1}{5} \times 1560 = 23/4$ mm ($\frac{1}{5} \times 1560 = 23/4$ mm) و ملاحظات اجرایی برای اتصال دهنده $23/4 \times 3 = mm 24$ ، فاصله نبیشی محصور کننده میان قاب از ستون ها به اندازه ۲۴ میلیمتر و از بال تیر فوقانی به اندازه ۱۲ میلیمتر در نظر گرفته شد. اتصال دهنده های ۷ شکل از یک طرف به ستون قاب و از طرف دیگر به نبیشی محصور کننده میان قاب جوش شدند. پایداری خارج از صفحه میان قاب توسط ورقهای فولادی که به بال ستون ها و تیرهای قاب جوش شدند و به صورت اتکا جانبی با نبیشی محصور کننده میان قاب در تماس بودند، تأمین گردید، (شکل ۳-ب).

لایه نازک اصلاح شده پلیمری (چسب AAC) و چسب پلی اورتان این محدودیت را ندارد. همچنین کاهش ضخامت ملات به ۱ تا ۳ میلیمتر در مقایسه با زمانی که از ملات متعارف ماسه سیمانی با ضخامت ۱۰ تا ۱۵ میلیمتری استفاده میشود یکی دیگر از ویژگیهای ملات لایه نازک اصلاح شده پلیمری (چسب AAC) و چسب پلی اورتان است. در فناوری نوین ساخت و ساز چسب پلی اورتان به دلیل داشتن برخی مزایا از جمله حمل و نقل و جابجایی ارزان تر، استفاده راحت تر، سرعت اجراء بالاتر، نیاز به نیروی انسانی کمتر، روند کسب مقاومت سریع تر و کاهش قابل توجه وزن سازه میتواند جایگزین مناسبی برای ملاتهای متعارف سنتی باشد. در این پژوهش برای اتصال بلوك ها در محل تماس با یکدیگر در بخش بندهای افقی و قائم از چسب پلی اورتان استفاده گردید.

در نمونه های CINF-0 و WNPD بلوك های AAC فقط با چسب به تیر و ستون قاب میان پر وصل شده اند، (شکل ۳-الف). در

جدول ۲. اطلاعات نمونه‌های آزمایشی

Table 2. Construction of infilled wall using AAC blocks

نمونه	نوع دیوار	دیوار	ضخامت (میلی‌متر)	ملات بند بستر	نحوه ارتباط دیوار	تیپ اتصال	آزمایش داخل صفحه	آزمایش صفحه	آزمایش خارج از صفحه	(الف) (ب)
			-	-	-	-	-	-	-	BF
WNPD	بلوک AAC	پلی‌اورتان	۱۰۰	میان‌قاب	Type -A	خیر	بلی	خیر	بلی	خیر
CINF-0	بلوک AAC	پلی‌اورتان	۱۰۰	میان‌قاب	Type -A	خیر	بلی	خیر	بلی	خیر
CINF-V	بلوک AAC	پلی‌اورتان	۱۰۰	میان‌قاب	Type -V	خیر	بلی	خیر	بلی	خیر

(الف) بدون آسیب قبلی داخل صفحه، (ب) با آسیب قبلی داخل صفحه

ساختمان‌ها بر طرف می‌شود. از آنجایی که در روند فراینده بارگذاری جانبی به دلیل تفاوت در تغییر شکل خمشی قاب و تغییر شکل برushi میان‌قاب اولین تماس بین قاب و میان‌قاب در گوشه‌های فشاری میان‌قاب صورت می‌گیرد، به همین دلیل چیدمان ادوات اتصال به گونه‌های انتخاب شد که قسمت انحنای آن‌ها به طرف گوشه نزدیک قاب، نباشد تا از خرابی موضعی آن‌ها در بارگذاری چرخه‌ای جلوگیری شود. جدول ۲ اطلاعات مربوط به نمونه‌ها را ارائه می‌دهد.

۲-۲- ویژگی مواد

برای ویژگی مواد تعیین مشخصات مکانیکی فولاد مصرفی، سه نمونه از بال، سه نمونه از جان مقطع HE-A120 و سه نمونه از ورق اتصال دهنده‌ها، طبق استاندارد ۱۱-۳۷۰ ASTM A [۳۳] آزمایش شدند. میانگین مقادیر حد تسليم (F_y)، حد نهایی (F_u) و ضریب ارجاعی (E) برای فولاد مصرفی در قاب به ترتیب برابر $297/5$ ، $435/5$ و 202 مگاپاسگال و 376 کیگاپاسگال و اتصال دهنده‌ها به ترتیب برابر 288 ، 198 و 100 کیگاپاسگال تعیین شد.

مقاومت فشاری واحدهای بلوک‌های AAC و وزن واحد حجم خشک آن‌ها بر اساس استاندارد ۰۷-۱۳۸۶ C ASTM [۳۴] اندازه‌گیری شد. واحدهای مصالح از واحدهای اصلی بریده شدند، که قابل مقایسه با ساختار واقعی آن‌ها باشند. نتایج به دست آمده از آزمایش تعیین مقاومت فشاری برای شش نمونه بلوک AAC به ابعاد اسمی $100 \times 100 \times 100$ میلی‌متر که میانگین مقاومت فشاری (f_m) شش

اندرکنش قاب و میان‌قاب در قاب میان‌پر دارای اثرات مطلوب و نامطلوب روی قاب، میان‌قاب و رفتار کلی ساختمان است. یک راه حل نسبتاً عملی برای کاهش اثرات مضر اندرکنش قاب-میان‌قاب جدا کردن دیوار میان‌قاب از قاب سازه مربوط به آن با ایجاد فاصله (شکاف) بین آن‌ها است [۲۱ و ۲۲]. جداسازی کامل، نادیده گرفتن اثرات مطلوب میان‌قابها در عملکرد قابهای میان‌پر است. اتصال دهنده Type-V در نمونه CINF-V در راستای کاهش اثرات منفی و بهره برداری از اثرات مثبت اندرکنش قاب و میان‌قاب طراحی شد و در این پژوهش تاثیر آن در رفتار داخل صفحه قاب میان‌پر و خارج از صفحه میان‌قاب بررسی گردید.

هدف از انتخاب نمونه CINF-0 به عنوان یکی از نمونه‌های آزمایشگاهی، مقایسه نتایج آزمایشگاهی نمونه CINF-V با نتایج آزمایشگاهی این نمونه بود تا مشخص شود که با به کارگیری اتصال دهنده‌های V شکل تا چه اندازه: (الف) از گسترش خسارت در میان‌قاب جلوگیری می‌شود. (ب) اثر نامطلوب افزایش سختی اولیه حذف می‌شود. (ج) با سالم ماندن میان‌قاب در رانش نسبی طبقه ۵/۲٪ (رانش نسبی معادل سطح عملکرد اینمنی جانی)، زوال سختی قاب جبران می‌گردد و مقاومت قاب میان‌پر افزایش می‌یابد. (د) تأثیر نامطلوب اندرکنش داخل صفحه قاب - میان‌قاب بر رفتار خارج از صفحه میان‌قاب حذف و مقاومت خارج از صفحه میان‌قاب بهبود می‌یابد. (ه) پایداری خارج از صفحه میان‌قاب به هنگام وقوع زلزله تامین می‌گردد. در نهایت با استفاده از اتصال دهنده V شکل، تا چه اندازه ضعف‌های میان‌قاب با بلوک‌های AAC برای کاربرد آن‌ها در



شکل ۴. تعیین مشخصات مکانیکی مصالح، (الف) مقاومت کششی و مقاومت برشی بلوک‌های AAC (ب) مقاومت برشی چسب.

Fig. 4. Determination of mechanical characteristics of the materials: (a) Tensile strength and shear strength of the AAC blocks; (b) Shear strength of polyurethane glue

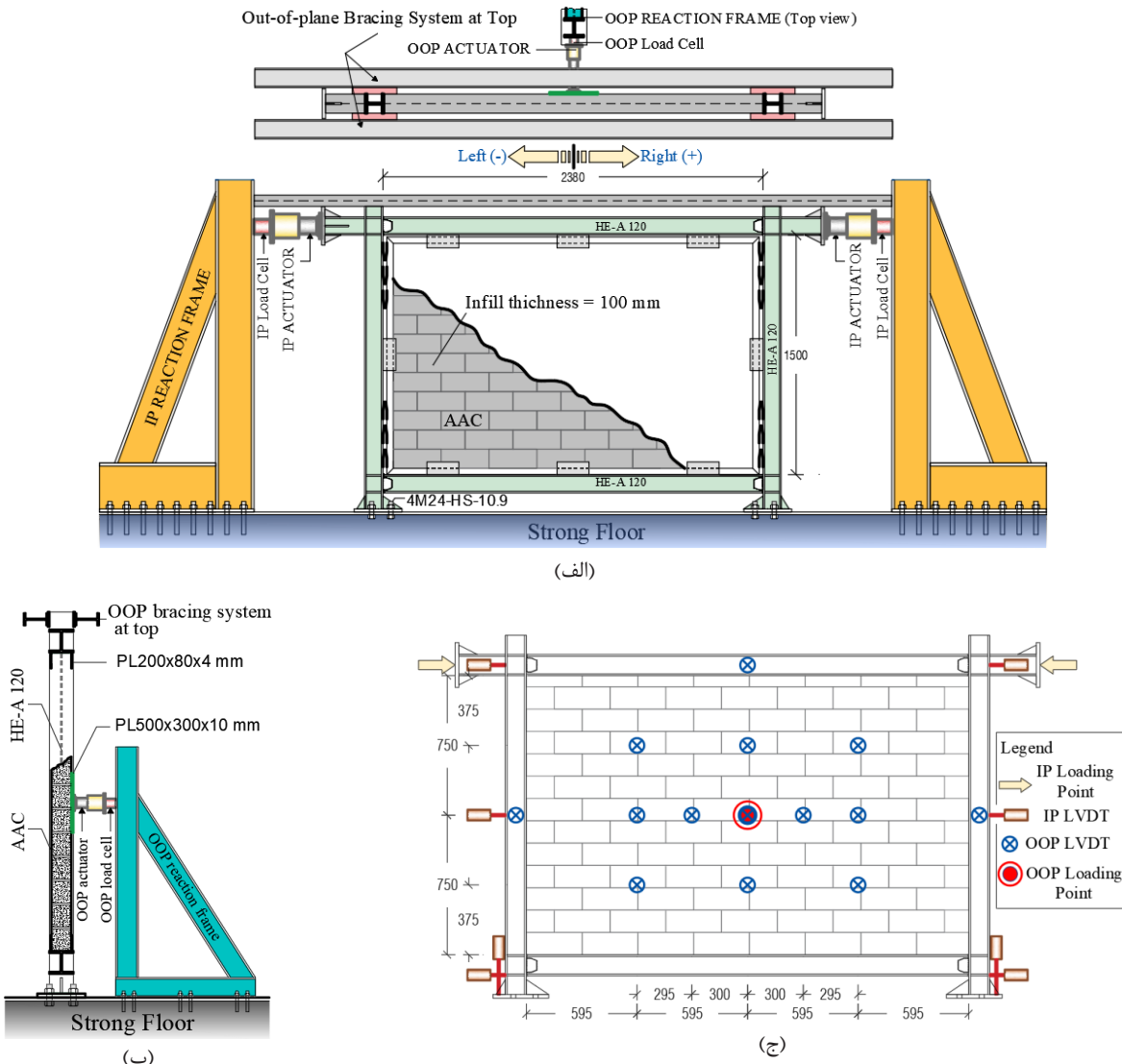
متوجه مقدار مقاومت برشی (f_v)، مقاومت کششی (f_t) و مدول برش بسته‌های بنایی (G_m) بلوك AAC که در آن‌ها از چسب پلی‌اورتان به عنوان ملات بند بستر استفاده شده بود، به ترتیب مساوی $0/22$ ، $0/35$ و $0/20$ مگاپاسگال و 597 گیگاپاسگال تعیین شد.

DIN EN 1052-3 [۳۷] بدون اعمال پیش فشردنگی در نمونه‌ها تعیین شد (شکل ۴-ب). برای ساخت نمونه‌ها از بلوک‌های AAC مقیاس شده به ابعاد $120 \times 100 \times 300$ میلی‌متر استفاده گردید. نمونه‌ها در دو سری سه تائی A-i و B-i که ($i=1,2,3$) آزمایش شدند. در نمونه‌های A-i ($i=1,2,3$) ما بین بلوک‌ها فقط چسب بود در حالی که در نمونه‌های B-i ($i=1,2,3$) ما بین بلوک‌ها علاوه بر چسب تسممه‌ها رابط نیز بودند تا تأثیر آن‌ها در مقاومت چسبندگی چسب بررسی شود. نمونه‌ها بعد از ۷۲ ساعت آزمایش شدند. بر اساس نتایج آزمایش‌ها مقدار متوسط مقاومت برشی چسب پلی‌اورتان (f_{v0}) در محل اتصال (بند) بلوک‌های AAC برای حالتی که ما بین بلوک‌ها فقط چسب باشد مساوی $41/0$ مگاپاسگال و برای حالتی که ما بین بلوک‌ها علاوه بر چسب تسممه رابط نیز باشد مساوی $22/0$ مگاپاسگال تعیین شد. این نتایج نشان می‌دهد، مقاومت چسبندگی چسب پلی‌اورتان

بلوک مجزا که در وجه 100×100 میلی‌متر خود فشرده شده‌اند، مساوی $3/40$ مگاپاسگال می‌باشد. متوسط وزن واحد حجم برابر $5/20$ کیلو نیوتون بر مترمکعب تعیین شد.

مقاومت فشاری منشورهای بنایی برای سه نمونه، شامل دو رج بلوك AAC و یک لایه چسب پلی‌اورتان مطابق با استاندارد ASTM C 1314-07 [۳۵] تعیین شد. نمونه‌ها بعد از ۷۲ ساعت تحت بار فشاری عمودی آزمایش شدند. بر اساس نتایج آزمایش‌ها مقدار متوسط مقاومت فشاری منشورهای بنایی (f_b) بلوك AAC مساوی $1/07$ مگاپاسگال و مقدار میانگین ضربی ارجاعی (E_m) مساوی 1637 مگاپاسگال تعیین شد.

مقاومت برشی، مقاومت کششی و مدول برشی بسته‌های بنایی بلوک‌های AAC که در آن‌ها از چسب پلی‌اورتان به عنوان ملات بند بستر استفاده شده بود، با آزمایش چهار نمونه طبق استاندارد E519/E519M-10 [۳۶] تعیین شد (شکل ۴-الف). نمونه‌ها در امتداد قطرها مجهز به دو دستگاه LVDT برای اندازه‌گیری تغییر شکل عمودی و افقی بودند. بار فشاری در امتداد قطری نمونه به وسیله یک دستگاه جک هیدرولیکی اعمال گردید. نمونه‌ها بعد از ۷۲ ساعت آزمایش شدند. بر اساس نتایج آزمایش‌ها



شکل ۵. راه اندازی آزمایش تجربی: (الف) نمای کلی ب) نمای جانبی ج) ابزار دقیق

Fig. 5. Experimental test set-up: (a) General view, (b) Lateral view, (c) Instrumentation

راه اندازی شدند. برای بارگذاری داخل صفحه، بارگذاری چرخهای با جابه‌جایی کنترل شده به کار گرفته شد. نمونه‌ها روی کف صلب قرار گرفتند و صفحه پای سطون هر یک از ستون‌ها توسط چهار عدد پیچ و مهره M24-HS-10.9 به کف صلب متصل گردید، در حالی که دو عدد فعال کننده هیدرولیکی (با ظرفیت ۵۰ تن و ظرفیت جابه‌جایی ± 150 میلی‌متر) در دو طرف قاب، بار افقی چرخهای اعمال می‌کردند. دامنه‌ها و تعداد چرخهای میزان بارگذاری داخل صفحه بر اساس

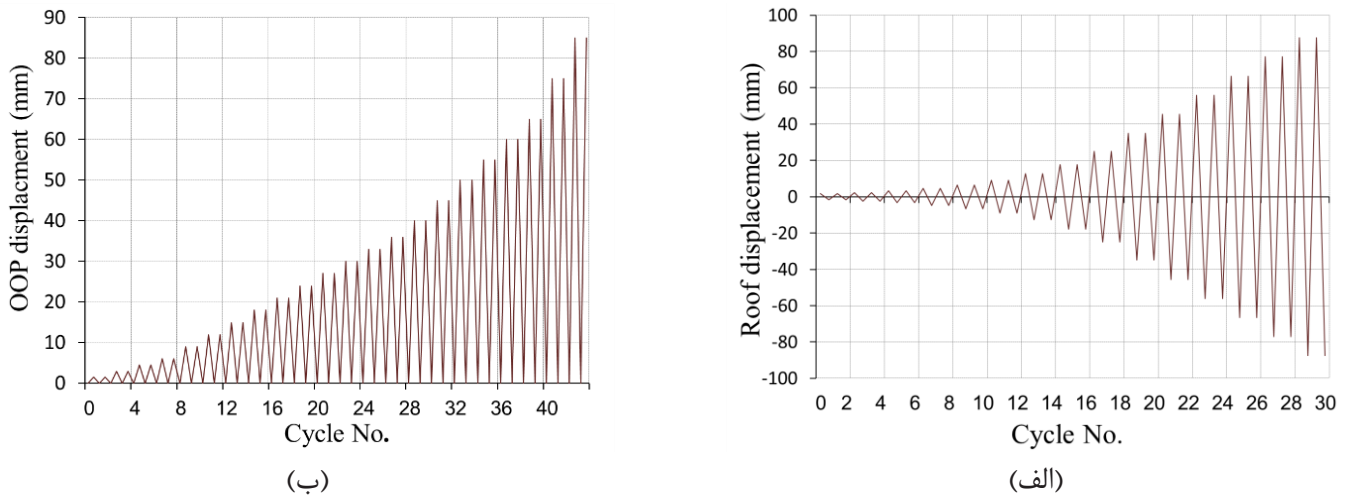
برای اتصال بلوک‌های AAC به یکدیگر بیشتر مقاومت چسبندگی چسب پلی‌اورتان برای اتصال بلوک‌های AAC به تسمه رابط است.

۳-نتایج آزمایشگاهی

-۱-۳

۳-۱-۱- برپایش آزمایشگاهی و ابزار دقیق

نحوه برپایش آزمایشگاهی شامل قاب واکنش، کف صلب، تجهیزات بارگذاری، جانمایی ابزار دقیق و قاب نمونه در شکل ۵ آمده است. آزمایش‌ها در آزمایشگاه مرکز تحقیقات مسکن، راه و شهرسازی ایران



شکل ۶. پروتکل بارگذاری: (الف) داخل صفحه ب) خارج از صفحه

Fig. 6. Loading protocol: (a) In-plane; (b) Out-of-plane

بیرون آمدن خارج از صفحه میان قاب از قسمت وسط اتفاق افتاد. ابتداء ترکی قائم از نقطه مرکزی دیوار میان قاب به قسمت بالای دیوار میان قاب و حدود وسط طول دهانه آن و ترکی دیگر به صورت مورب از نقطه مرکزی دیوار میان قاب به گوشه سمت چپ پائین گسترش پیدا کردند. سپس با افزایش دامنه جابه جایی بارگذاری خارج از صفحه، الگوی شکست این ترکها کامل شدند و ترکهای مورب دیگری از حدود وسط میان قاب تا گوشه پائین و گوشه بالای سمت راست آن گسترش یافتند (شکل ۷-ب).

۳-۱-۳- نمونه CINF-0

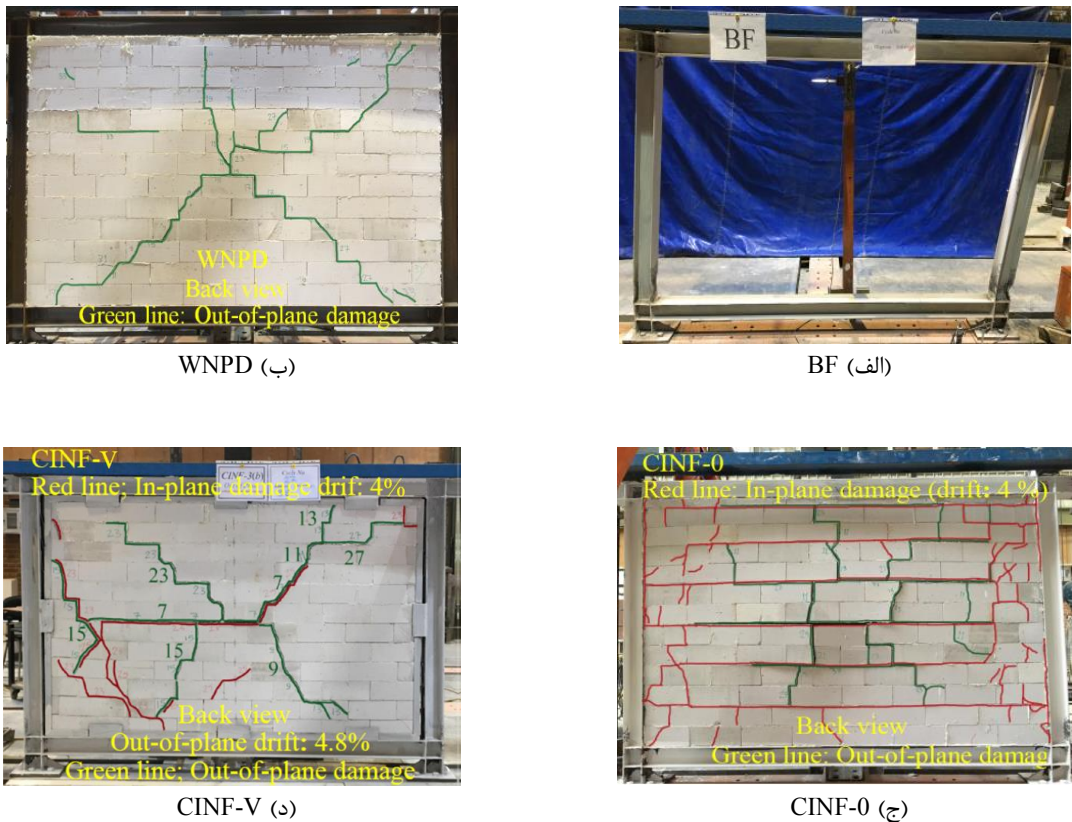
در آزمایش نمونه CINF-0 (اتصال میان قاب به قاب با چسب پلی اورتان)، در جابه جایی $\frac{2}{3}$ میلی متر (رانش نسبی طبقه $\frac{14}{100}$ ٪) جداشدگی بین قاب و میان قاب (ترک مرزی) در گوشه فوکانی اتفاق افتاد. در جابه جایی $\frac{9}{1}$ میلی متر (رانش نسبی طبقه $\frac{56}{50}$ ٪) آثار جاری شدن قاب در بال خارجی ستون کم کم آشکار شد. این مود خرابی در قسمت پائین ستون ها در نزدیک اتصال ستون ها به تیر تحتانی اتفاق افتاد. از دیگر مودهای خرابی مشاهده شده، به وجود

استاندارد FEMA 461 [۳۸] تنظیم گردید (شکل ۶-الف). سرعت بارگذاری به قدری انتخاب شد که برای در نظر گرفتن بارگذاری شبه استاتیکی به اندازه کافی آهسته باشد. در دو نقطه تکیه گاه جانبی اجراء شد تا قاب را در برابر حرکات خارج از صفحه نگهداری کند. برای بارگذاری خارج از صفحه، از بارگذاری چرخهای یک جهته با جابه جایی کنترل شده توسط یک جک در نقطه مرکزی میان قاب استفاده شد. یک صفحه فولادی به ابعاد $10 \times 300 \times 500$ میلی متر در قسمت انتهائی جک نصب گردید تا نیروی اعمال شده توسط جک پخش گردد و از خرابی های موضعی جلوگیری شود. پروتکل بارگذاری خارج از صفحه مرکز دیوار مطابق با رویکرد به کار رفته توسط سایر محققان تنظیم گردید [۲۵] (شکل ۶-ب).

مقدار نیروی اعمال شده توسط جک های هیدرولیکی به وسیله Load Cell و جابه جایی متناظر با نیروی اعمال شده به وسیله سنسورهای LVDT اندازه گیری شد. داده ها و اطلاعات اندازه گیری شده در DATA LOGGER ذخیره گردید.

۳-۲-۱- نمونه WNPD

در آزمایش خارج از صفحه نمونه WNPD شکست میان قاب با



شکل ۷. خسارت داخل صفحه (خطوط قرمز) و خارج از صفحه (خطوط سبز) مشاهده شده در پایان آزمایش

Fig. 7. In-plane damage (red lines) and out-of-plane damage (green lines) observed at the end of the test

از ۰/۴۱ مگاپاسگال به ۰/۲۲ مگاپاسگال کاهش داد. در این نمونه بعد از رانش نسبی طبقه ۰/۲٪ میان قاب به شش نوار افقی قابل لغزش تقسیم شد. با تقسیم شدن میان قاب به عناصر افقی، شش نوار افقی در سیکل های رفت و برگشت بارگذاری در بستر بند های افقی روی همدیگر لغزیدند. ترک قطری معنی دار در میان قاب مشاهده نشد.

در طول آزمایش خارج از صفحه نمونه CINF-0 (آسیب قبلی داخل صفحه، رانش نسبی طبقه ۰/۴٪) الگوی شکست غالب به صورت ترک های قائم و افقی بود که ترک های قائم در اثر بارگذاری خارج از صفحه دیوار میان قاب به وجود آمدند، و ترک های افقی عمدتاً به ترک های افقی رج های زوج که در بارگذاری داخل صفحه به وجود آمده بودند، منطبق شدند که با افزایش دامنه بارگذاری خارج از صفحه،

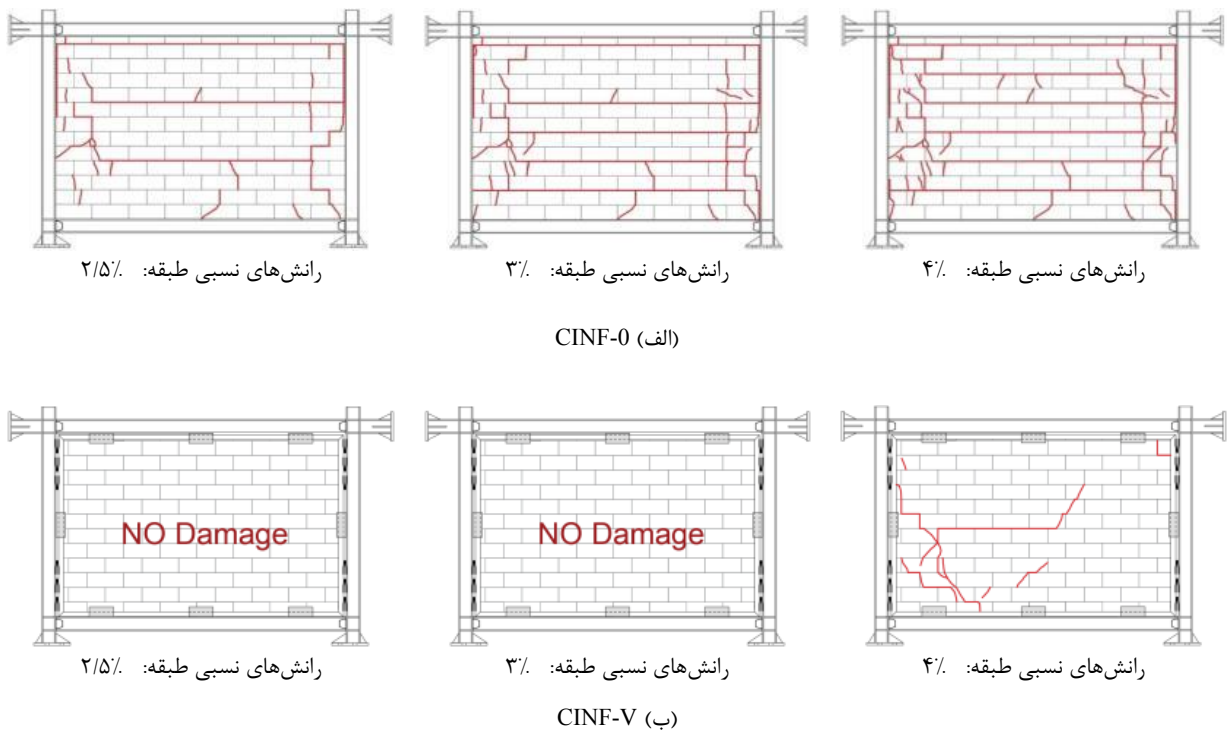
آمدن ترک های عمودی در جابه جایی ۹/۱ میلی متر (رانش نسبی طبقه ۰/۵٪) و جدا شدن بلوک ها از یکدیگر در بند های قائم در جابه جایی ۱۷/۸ میلی متر (رانش نسبی طبقه ۱/۱٪) در محدوده ۳۰ سانتی متری از ستون بود (شکل ۷-ج).

با افزایش دامنه جابه جایی افقی، بلوک ها تمایل به لغزش در محل تماس با یکدیگر در رج های افقی در بخش بند بستر را داشتند (شکل ۷-ج). تمایل بلوک ها به لغزش در محل تماس با یکدیگر در بخش بند های افقی دقیقاً در رج های زوج بود. در رج های زوج، برای اتصال بلوک های مجاور هم، از تسممه های فولادی نازک استفاده شده بود (شکل ۲). دلیل لغزش در این رج ها به این خاطر بود که قرار دادن تسممه های فولادی نازک در بند بستر افقی مقدار متوسط مقاومت برشی چسب پلی اورتان (f_{v_0}) در محل اتصال (بند) بلوک های AAC را



شکل ۸. عملکرد اتصال دهنده های V شکل، (الف) گوشه کششی، (ب) گوشه فشاری میان قاب

Fig. 8. Performance of the V-shaped connectors: (a) tensile corners; (b) compressive corner of infill



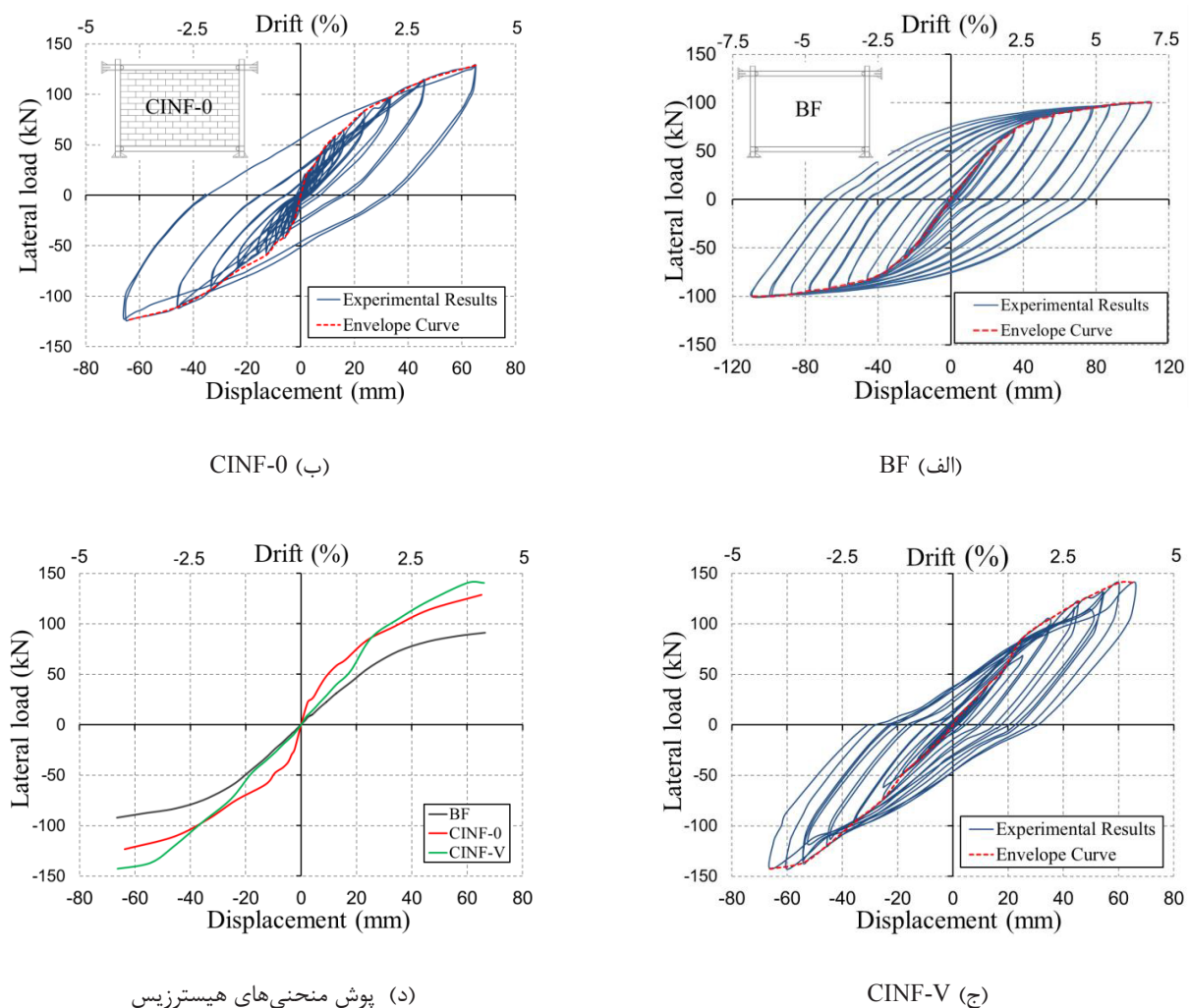
شکل ۹. الگوی ترک خودگی داخل صفحه میان قاب نمونه ها

Fig. 9. In-plane cracking pattern of specimen infills

قسمت هایی از دیوار میان قاب از بند افقی رج های زوج به سمت خارج شده تا رانش نسبی طبقه $\frac{3}{4}$ % در این نمونه خارج شدن بال ستون از حالت الاستیک در قسمت پائین ستون های قاب در جایه جایی $\frac{1}{1}$ میلی متر (رانش نسبی طبقه $\frac{56}{50}$ %) بود. تا جایه جایی $\frac{45}{5}$ میلی متر (رانش نسبی طبقه $\frac{28}{20}$ %) با اعمال جایه جایی افقی در تراز فوقانی قاب، اتصال دهنده های V شکل از طریق خم شدن (باز و بسته شدن) امکان

قسمت هایی از دیوار میان قاب از بند افقی رج های زوج به سمت خارج از صفحه لغزیدند (شکل ۷-ج).

۳-۱-۴- نمونه CINF-V در آزمایش نمونه CINF-V (اتصال میان قاب به قاب با استفاده از اتصال دهنده های V شکل)، تا جایه جایی 55 میلی متر (رانش نسبی طبقه



شکل ۱۰. منحنی های هیسترزیس بار جانبی داخل صفحه- جابه جایی و پوش منحنی های هیسترزیس نمونه های آزمایش شده

Fig. 10. In-plane lateral load - displacement hysteresis curves and hysteresis envelope curves for the tested specimens

تقریباً ۴۵ درجه ظاهر شدند. رخداد دیگری که در جابه جایی در جابه جایی افقی ۶۵ میلیمتر (رانش نسبی طبقه $\frac{3}{4}$ ٪) مشاهده شد، لغزش بلوکها در محل تماس با یکدیگر در بستر بندهای افقی در قسمتی از رج ششم بود. در رج های زوج، برای اتصال بلوک های مجاور هم، از تسممه های فولادی نازک استفاده شده بود (شکل ۲). در طول آزمایش عملکرد هیچ کدام از اتصال ادوات مختلف نگردید و هیچ گونه خرابی در آن ها مشاهده نشد.

در طول آزمایش خارج از صفحه CINF-V، ابتداء در قسمت مرکزی میان قاب بخش بسیار اندکی از الگوی شکست خارج از صفحه میان قاب منطبق بر ترک های آسیب قابلی ناشی از بارگذاری داخل

سر خوردن میان قاب را فراهم کردند، در نتیجه تغییر شکل خمی ایجاد شده در قاب فولادی اثر نامطلوبی را روی میان قاب ایجاد نکرد (شکل ۸). در جابه جایی افقی ۵۵ میلیمتر (رانش نسبی طبقه $\frac{3}{4}$ ٪) دو ترک مورب در محدوده یک سوم کناری میان قاب و در سمت اعمال بار شدند. این ترک های مورب از میان بلوک ها عبور کردند و زاویه انتشار آن ها ۴۰ و ۶۵ درجه و طول آن ها به ترتیب برابر ۵۷۰ و ۱۱۹ میلیمتر بود (شکل ۷-۸).

با افزایش دامنه جابه جایی افقی به ۶۵ میلیمتر (رانش نسبی طبقه $\frac{3}{4}$ ٪)، دو ترک قطری کششی در محدوده یک سوم میان قاب در امتداد قطر فشاری به طول های ۳۴۰ و ۵۱۰ میلیمتر با زاویه انتشار

جدول ۳. مقایسه نسبت مقاومت داخل صفحه نمونه CINF-V به نمونه BF و CINF-0

Table 3. Comparison of the ratio of in-plane strength of the specimen CINF-V to that of BF and CINF-0

نمونه	جهت بارگذاری	رانش نسبی طبقه %۰/۸			رانش نسبی طبقه %۲/۵			رانش نسبی طبقه %۳/۵		
		(الف)	P(kN)	نسبت (ب)	(الف)	P(kN)	نسبت (ب)	(الف)	P(kN)	نسبت (ب)
BF	میانگین	۱	۸۷/۹	۰/۷۶	۱	۷۸/۳	۰/۵۳	۱	۳۱/۴	۰/۷۴
CINF-0	+		۱۲۰/۲			۱۰۴/۶			۵۸/۸	۱/۳۵
	-		۱۱۷/۰	۱	۱/۳۲	۱۰۱/۹	۱	۱/۸۷	۵۸/۹	۱۱۸/۶
	میانگین		۱۱۸/۶			۱۰۲/۲			۵۸/۸۵	۱۲۳/۷
CINF-V	+	۱/۴	۱۲۲/۶	۰/۹۴	۱/۲۴	۹۷/۱	۰/۶۶	۱/۲۳	۳۷/۲	۱۲۳/۲
	-		۱۲۳/۲			۹۷/۵			۳۸/۶	میانگین

که نوع اتصال دیوار میان قاب به قاب در نمونه‌ها متفاوت بود. به منظور به دست آوردن نقاط مشخص از منحنی‌های پوش هیسترزیس برای ارزیابی کمیتی مقاومت نمونه‌ها، در سه نقطه خاص از منحنی‌های پوش، متناظر با رانش‌های نسبی طبقه %۰/۸، %۲/۵ و %۳/۵، نسبت مقاومت نمونه‌ها به مقاومت قاب خالی CINF-0 و نمونه BF در همان سطح از رانش نسبی طبقه محاسبه گردید. نتایج در جدول ۳ آرائه شده است. هدف از این کار بررسی این موضوع است که تا چه اندازه میان قاب و نوع اتصال آن به قاب توانسته‌اند در افزایش مقاومت قاب میان پر در سطوح عملکرد قابلیت استفاده بی‌وقفه (IO)، ایمنی جانی (LS) و بعد، تأثیر مثبت داشته باشند. افزایش مقاومت قاب میان پر از اثرات مثبت حضور میان قاب‌ها در قاب‌های میان پر است به شرطی که اندرکنش قاب و میان قاب منجر به گسترش خسارت در میان قاب و قاب نگردد.

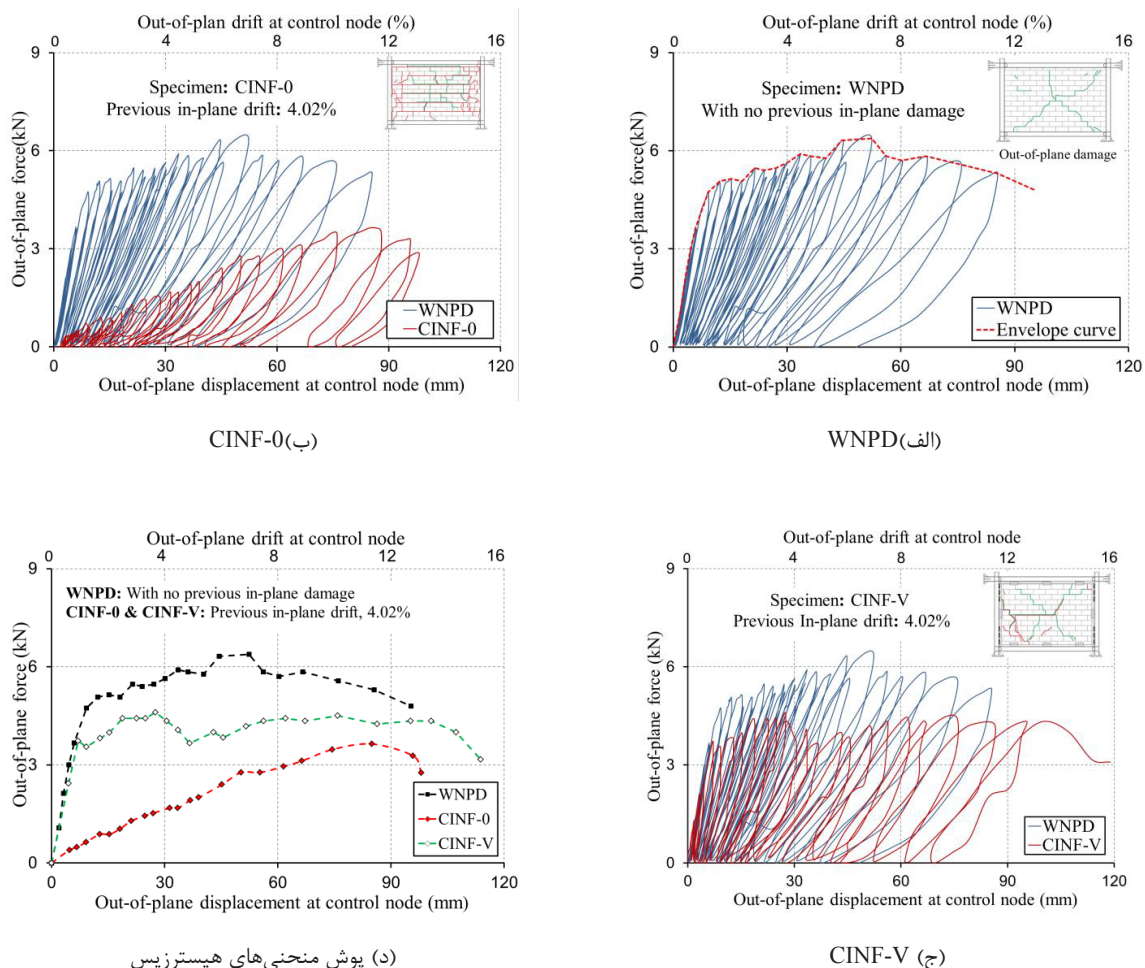
از نتایج جدول ۳ مشهود است که نمونه CINF-0 در رانش نسبی طبقه %۰/۸ با ۸۷٪ افزایش، بیشترین افزایش مقاومت را نسبت به قاب خالی BF دارد. این افزایش مقاومت در رانش نسبی طبقه %۲/۵ به علت گسترش خسارت در میان قاب به ۳۲٪ رسید. افزایش مقاومت نمونه 0 CINF با توجه به شدت خسارت‌های ایجاد شده در میان قاب این نمونه، قابل بهره برداری در سطوح عملکرد قابلیت استفاده بی‌وقفه (IO) و ایمنی جانی (LS) [۳۹] به هنگام وقوع زلزله نخواهد بود (شکل ۷-ج).

نمونه CINF-V در رانش نسبی طبقه %۰/۸ به مقدار ۲۳٪ مقاومت

صفحه بود که با افزایش دامنه جابه‌جایی خارج از صفحه ترک‌های جدید شکل گرفتند و الگو شکست میان قاب کامل گشت. گسترش ترک‌های ناشی از بارگذاری خارج از صفحه میان قاب، از قسمت مرکزی میان قاب به سمت گوشه‌ها بود (شکل ۷-د).

نحوه گسترش خسارت و الگوی ترک خوردگی میان قاب نمونه‌ها برای رانش‌های نسبی طبقه %۰/۸ و %۲/۵ بر اساس نتایج ثبت شده در طول آزمایش‌ها در شکل ۹ رسم شده است. نتایج نشان می‌دهد اتصال دهنده‌های V شکل توانسته‌اند اثر مضر اندرکنش قاب- میان قاب را در نمونه CINF-V کاهش دهند، از گسترش خسارت در میان قاب این نمونه جلوگیری نمایند و الگوی شکست داخل صفحه میان قاب آن را نسبت به نمونه 0 CINF تغییر دهند. تغییر الگوی شکست در این نمونه در جهت بهبود رفتار تعاملی میان قاب با قاب بود.

۳-۲- رفتار هیسترزیس، پوش منحنی چرخه‌ای و مقاومت منحنی‌های هیسترزیس بار جانبی داخل صفحه- جابه‌جایی نمونه‌ها و پوش منحنی‌های هیسترزیس آن‌ها در مقایسه با قاب خالی BF در شکل ۱۰ آمده است. منحنی‌ها حاکی از آن است که در حالت کلی حضور میان قاب‌ها در قاب‌ها باعث افزایش مقاومت نمونه‌ها شده است. ولی روند افزایش مقاومت و مقدار آن برای رانش‌های نسبی طبقه یکسان در نمونه‌ها متفاوت است. علت این موضوع بیشتر به این خاطر است



شکل ۱۱. منحنی‌های هیسترزیس بار- جابه‌جایی خارج از صفحه و پوش منحنی‌های هیسترزیس نمونه‌های آزمایش شده

Fig. 11. Out-of-plane load-displacement hysteresis curves and hysteresis envelope curves for the tested specimens

صفحه دیوار میان قاب تعریف شده است. پوش منحنی‌های هیسترزیس نمونه CINF-0 نشان می‌دهد بار خارج از صفحه این نمونه با افزایش دامنه جابه‌جایی در نقطه مرکزی میان قاب تا جابه‌جایی خارج از صفحه نقطه مرکزی دیوار میان قاب برابر ۸۵ میلی‌متر با شبیه ملایم افزایش یافته و به یک نقطه ماقریم می‌رسد، از این نقطه به بعد مقاومت خارج از صفحه دیوار میان قاب کاهش می‌یابد. در آزمایش خارج از صفحه نمونه CINF-0 حداکثر بار خارج از صفحه برای این نمونه برابر $\frac{3}{64}$ کیلونیوتن ثبت شد. پوش منحنی‌های هیسترزیس نمونه CINF-V حاکی از آن است که حداکثر بار خارج از صفحه در این نمونه در جابه‌جایی خارج از صفحه نقطه مرکزی دیوار میان قاب برابر ۲۷ میلی‌متر (رانش نسبی $\frac{3}{6}$) ثبت شده است و مقدار آن برابر $\frac{6}{26}$ کیلونیوتن می‌باشد. در آزمایش‌های خارج از صفحه، جابه‌جایی خارج از صفحه نقطه مرکزی میان قاب تقسیم بر نصف ارتفاع آن به عنوان رانش نسبی خارج از

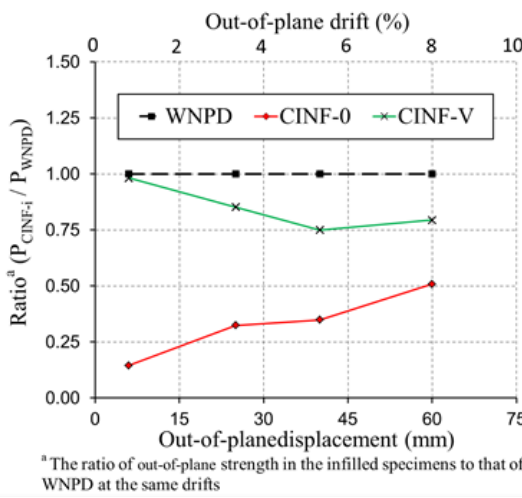
قاب میان پر را نسبت به قاب خالی BF افزایش داد. روند افزایش مقاومت این نمونه با افزایش دامنه جابه‌جایی ادامه یافت به طوری که تا رانش نسبی طبقه $\frac{3}{4}$ با سالم ماندن میان قاب، مقدار افزایش مقاومت این نمونه نسبت به قاب خالی BF به 40% رسید.

منحنی‌های هیسترزیس بار- جابه‌جایی خارج از صفحه نمونه‌ها و پوش منحنی‌های هیسترزیس آن‌ها در مقایسه با نمونه بدون آسیب قبلی WNPD در شکل ۱۱ آمده است. پوش منحنی‌های هیسترزیس نمونه WNPD نشان می‌دهد، حداکثر بار خارج از صفحه این نمونه در مقدار جابه‌جایی خارج از صفحه نقطه مرکزی دیوار میان قاب برابر ۵۰ میلی‌متر (رانش نسبی خارج از صفحه نظیر این جابه‌جایی برابر $\frac{6}{7}$) ثبت شده است و مقدار آن برابر $\frac{6}{26}$ کیلونیوتن می‌باشد. در آزمایش‌های خارج از صفحه، جابه‌جایی خارج از صفحه نقطه مرکزی میان قاب تقسیم بر نصف ارتفاع آن به عنوان رانش نسبی خارج از

جدول ۴. مقایسه نسبت مقاومت خارج از صفحه نمونه‌ها به نمونه WNPD

Table 4. Comparison of the ratio of out-of-plane strength of the specimens to that of WNPD

نمونه	نسبت $P_{\text{WNPD}} / P_{\text{CINF-V}}$	نسبت $P_{\text{WNPD}} / P_{\text{CINF-0}}$	نسبت $P_{\text{WNPD}} / P_{\text{CINR}}$	نسبت $P_{\text{WNPD}} / P_{\text{WNPD}}$
WNPD	۱	۰.۶۰	۰.۷۳	۱
CINF-0	۰.۸۰	۰.۸۵	۰.۳۵	۰.۵۱
CINF-V	۰.۷۳	۰.۴۵	۰.۲۰	۰.۷۹



^a The ratio of out-of-plane strength in the infilled specimens to that of WNPD at the same drifts

شکل ۱۲. نسبت مقاومت خارج از صفحه نمونه‌ها به نمونه WNPD (نمونه بدون آسیب قبلی)

Fig. 12. The ratio of out-of-plane strength of the specimens to WNPD (with no previous damage)

WNPD، به طور متوسط ۷۳٪ و ۱۴٪ کاهش داده است. این کاهش مقاومت تا رانش نسبی خارج از صفحه برابر ۵/۳٪ است. به طور کلی آسیب قبلی ناشی از بارگذاری داخل صفحه، باعث کاهش مقاومت خارج از صفحه نمونه‌ها در رانش‌های نسبی یکسان شده است. اما کمترین کاهش مقاومت خارج از صفحه، مربوط به نمونه CINF-V است. در این نمونه، عملکرد اتصال دهنده‌های ۰ شکل، باعث بهبود رفتار خارج از صفحه میان قاب آن شده‌اند.

۳-۳- زوال سختی

منحنی زوال سختی نمونه‌ها در مقایسه با قاب خالی به ازای جایه‌جایی تراز فوقانی ستون در شکل ۱۳ ارائه شده است. برای توصیف زوال سختی، ضریب زوال سختی K به صورت ذیل تعریف می‌شود [۲۴].

مرکزی دیوار میان قاب برابر ۲۷ میلی‌متر تا ۳۶ میلی‌متر مقاومت خارج از صفحه دیوار میان قاب کاهش یافته است. بعد از جایه‌جایی خارج از صفحه نقطه مرکزی دیوار میان قاب برابر ۳۶ میلی‌متر تا ۷۵ میلی‌متر، مقدار بار خارج از صفحه در نقطه مرکزی دیوار میان قاب با یک شیب ملایمی افزایش یافته و به مقدار حداقل دوم برابر ۵/۴ کیلونیوتون رسیده است.

نسبت مقاومت خارج از صفحه نمونه‌ها به مقاومت خارج از صفحه نمونه بدون آسیب قبلی WNPD در جایه‌جایی خارج از صفحه نقطه مرکزی میان قاب برابر ۶، ۲۵، ۴۰ و ۸۰ میلی‌متر در جدول ۴ و شکل ۱۲ آمده است. نتایج نشان می‌دهند آسیب قبلی ناشی از بارگذاری داخل صفحه تا رانش نسبی طبقه ۴٪، مقاومت خارج از صفحه نمونه‌های CINF-V، CINF-0 را نسبت به نمونه بدون آسیب قبلی

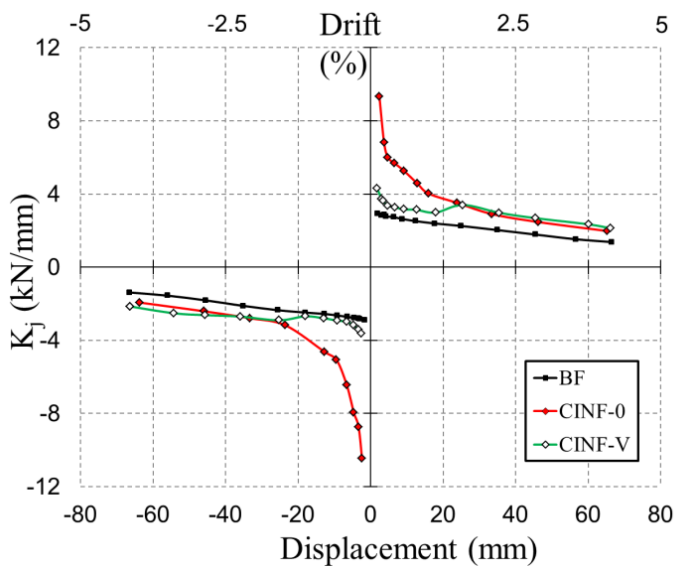


Fig. 13. Stiffness degradation curves for the tested specimens

شکل ۱۳. منحنی های زوال سختی نمونه های آزمایش شده

جدول ۵. مقایسه نسبت زوال سختی نمونه ها به سختی اولیه قاب خالی

Table 5. Comparison of the ratio of stiffness degradation of the specimens to the initial stiffness of BF

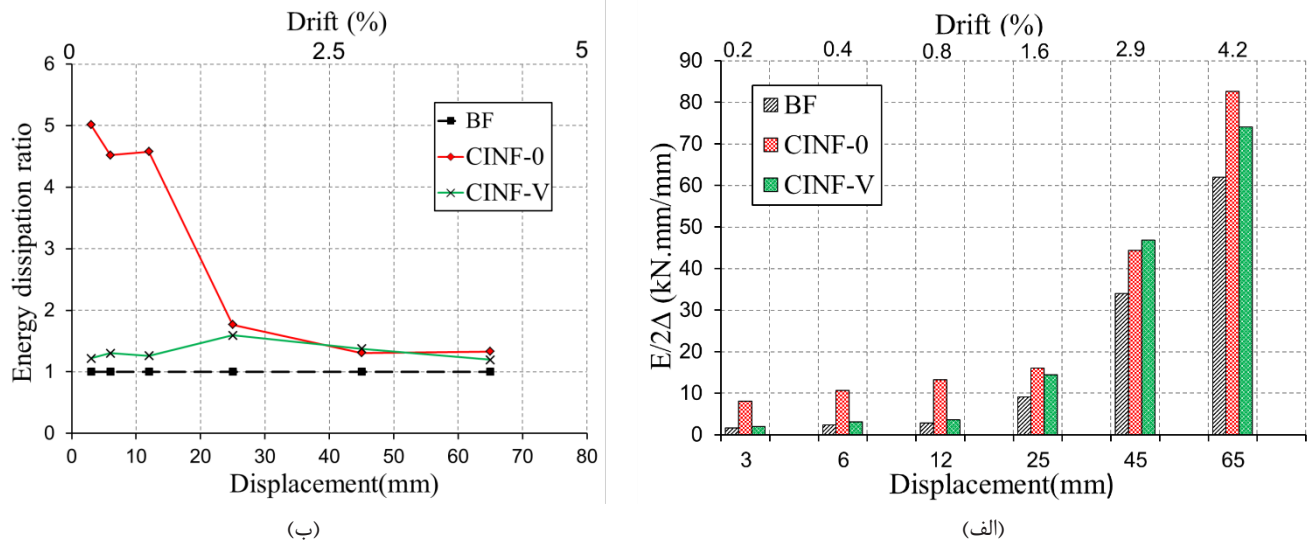
نمونه	جهت بارگذاری	K_{ini} (kN/mm)	رانت نسبی	رانت نسبی	رانت نسبی	$K_j(kN/mm)$	نسبت	$K_j(kN/mm)$	نسبت	$K_j(kN/mm)$	نسبت	$K_j(kN/mm)$	نسبت	K_{ini} (kN/mm)	جهت بارگذاری	نمونه
Miangin	BF	2/84	-	-	-	1/67	0.59	2/74	0.74	2/09	0.92	2/62	0.92	1	-	Miangin
	+	6/01	-	-	-	2/29	-	2/79	-	4/90	-	-	-	-	CINF-0	-
Miangin	CINF-0	6/44	-	-	-	2/23	0.80	0/97	-	2/72	1/72	4/91	3/02	6/23	+	2/26
	-	6/23	-	-	-	2/75	-	2/36	-	4/90	-	3/33	3/37	-	2/36	-
Miangin	CINF-V	3/19	-	-	-	2/34	0.83	0/94	-	2/59	1/13	3/10	1/15	3/28	-	2/35
	-	3/28	-	-	-	2/60	-	-	-	-	-	3/21	-	-	-	-

انتهای ستون برابر j است. n تعداد چرخه های بارگذاری برای هر مرحله بارگذاری است.

به منظور ارزیابی کمی تأثیر نوع اتصال میان قاب به قاب در افزایش سختی نمونه ها و زوال سختی آن ها در روند فراینده دامنه جا به جایی، سه نقطه خاص در منحنی های فاکتور زوال سختی که متناظر با رانت های

$$K_j = \sum_{i=1}^n P_j^i / \sum_{i=1}^n u_j^i \quad (1)$$

که در آن P_j^i و u_j^i به ترتیب حداکثر بار جانبی و جابه جایی متناظر با آن در چرخه بارگذاری i در هنگامی می باشند که جابه جایی



شکل ۱۴. ظرفیت استهلاک انرژی نمونه‌ها، (الف) انرژی مستهلاک شده نمونه‌ها در تغییر مکان های معین که بر حسب دو برابر تغییر مکان حداکثر هر دامنه جابه‌جایی نرمال شده اند، (ب) نسبت انرژی مستهلاک شده نمونه‌ها به قاب خالی

Fig. 14. Energy-dissipating capacity of the specimens: (a) Dissipated hysteretic energy of the specimens at certain displacements normalized by the peak-to-peak displacement (2Δ); (b) The ratio of the dissipated energy of the specimens to BF

نشان می‌دهند، افزایش سختی اولیه نمونه CINF-V نسبت به سختی اولیه قاب خالی 15% است، در حالی که سختی اولیه نمونه ۰، CINF-0 و CINF-V برابر سختی اولیه نمونه قاب خالی BF است و نسبت سختی نمونه CINF-V به سختی قاب خالی BF در رانش نسبی طبقه $2/5\%$ برابر است. به عبارت دیگر در این نمونه علاوه بر آن که افزایش سختی اولیه محسوس نیست بلکه زوال سختی قاب با سالم ماندن میان قاب در رانش نسبی معادل سطح عملکرد LS (رانش نسبی طبقه $2/5\%$) جبران شده است.

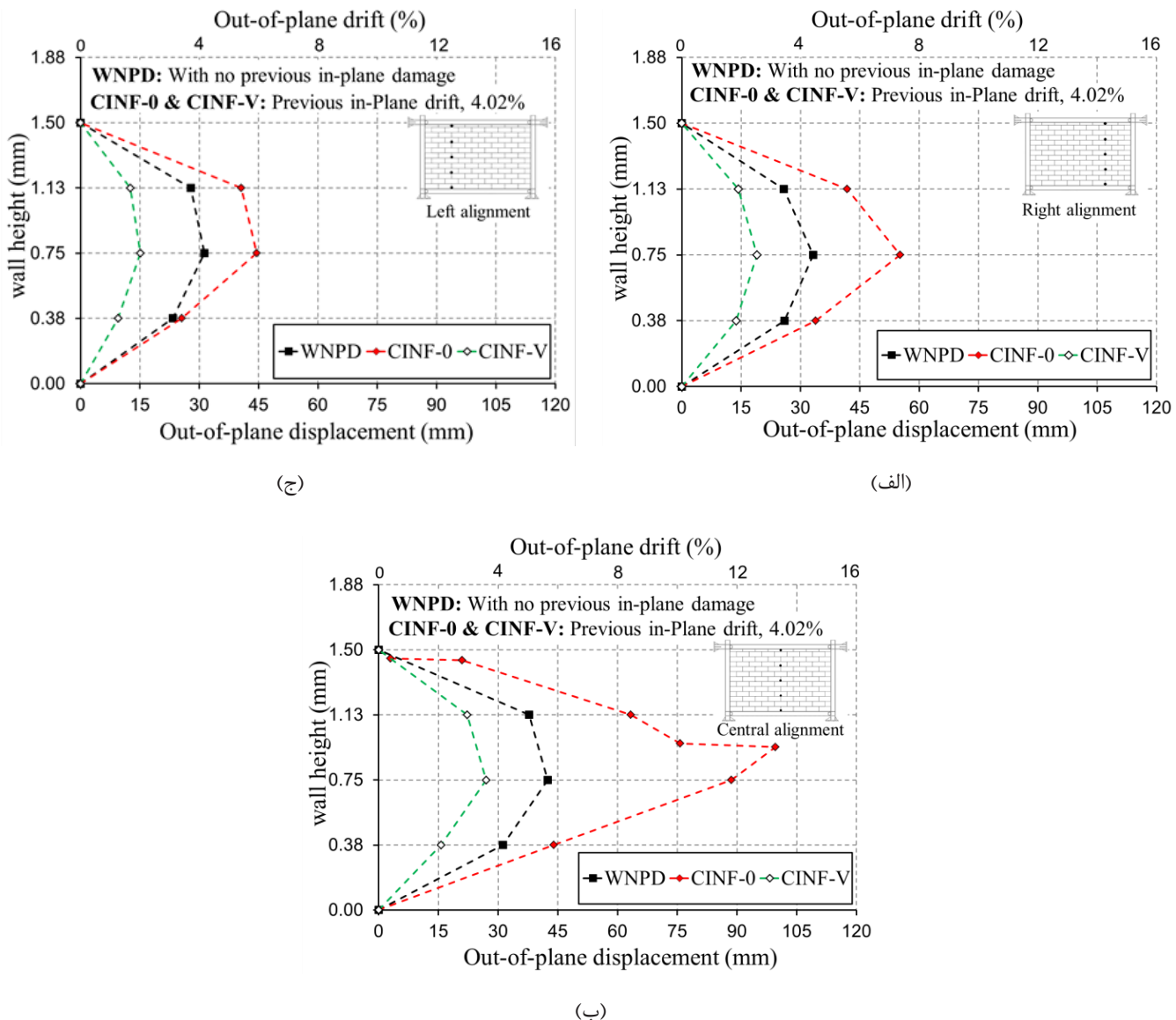
۳-۴- ظرفیت استهلاک انرژی

اکثر سازه‌ها می‌توانند به وسیله تغییر شکل کلی، آسیب موضعی و غیره انرژی را تحت عمل لرزه‌ای مستهلاک نمایند. استهلاک انرژی در یک سازه زمانی جذاب خواهد بود که این استهلاک توانم با حداقل آسیب در سازه باشد. ظرفیت استهلاک انرژی را می‌توان از مساحت محصور توسط حلقه‌های هیسترزیس بار-جابه‌جایی در هر چرخه برآورد کرد. به منظور مقایسه توانایی استهلاک انرژی نمونه‌های مختلف در هر سطح جابه‌جایی، رویکرد به کار رفته توسط سایر

نسبی $2/5\%$ و $3/5\%$ هستند، مورد بررسی قرار گرفتند. نتایج این بررسی در جدول ۵ آمده است. در این جدول سختی اولیه نمونه‌ها و نسبت فاکتور زوال سختی نمونه‌ها در هر رانش نسبی به سختی اولیه نمونه قاب خالی BF محاسبه گردیده است.

در بحث سختی قاب‌های میان‌پر دو نکته حائز اهمیت است:
۱- افزایش سختی قاب‌ها که توسط میان قاب‌ها پر شده‌اند، ۲- زوال سختی این قاب‌ها با افزایش دامنه جابه‌جایی در بارگذاری چرخه‌ای است. افزایش سختی قاب‌های میان‌پر، باعث می‌شود: (الف) سهم آن‌ها از نیروهای ناشی از زلزله بیشتر شود، در صورتی که این قاب‌ها و میان قاب‌هایشان برای چنین نیروهایی طراحی نشده باشند، ممکن است تخریب شوند. (ب) توزیع سختی در پلان و ارتفاع سازه تغییر یابد. پیچش در ساختمان به علت توزیع غیر یکنواخت و نامنظم سختی در پلان ایجاد می‌شود. طبقه نرم، ناشی از توزیع نامنظم سختی در ارتفاع سازه است. زوال سختی قاب‌ها با افزایش دامنه جابه‌جایی در بارهای لرزه‌ای باعث تشدید جابه‌جایی کل سازه شده و منجر به ناپایداری آن می‌شود.

منحنی‌های زوال سختی نمونه‌ها در شکل ۱۴ و نتایج جدول ۵



شکل ۱۵. پروفیل جابه‌جایی خارج از صفحه میان قاب نمونه‌ها در مقایسه با نمونه بدون آسیب قبلی WNPD در سه بخش مختلف (الف) سمت راست، (ب) مرکز و (ج) سمت چپ

Fig. 15. Comparison of out-of-plane displacement of specimen frames with WNPD in three different sections (a) Right side; (b) Center and (c) Left side

با سایر نمونه‌های آزمایش شده در شکل ۱۴ تا رانش نسبی طبقه ۲/۵٪ مشهود است. منطقه محصور شده توسط حلقه‌های پسماند (هیسترزیس) از منحنی پاسخ یا پوش منحنی‌ها که معمولاً به عنوان نماینده ظرفیت جذب انرژی در نظر گرفته می‌شود، به عنوان یک پارامتر قابل توجه به نمایندگی از سایر پارامترها برای مقاومت در برابر زلزله قاب‌های میان‌پر لازم هست ولی کافی نمی‌باشد. چون چنین

محققان مورد استفاده قرار گرفت [۴۰]. انرژی مستهلك شده نمونه‌ها در مقایسه با قاب خالی BF، در تغییر مکان‌های معین که بر حسب دو برابر تغییر مکان حداقل هر دامنه جابه‌جایی نرمال شده‌اند در شکل ۱۴-الف و نسبت انرژی مستهلك شده نمونه‌ها به قاب خالی BF نیز در شکل ۱۴-ب نشان داده شده است. ظرفیت بالای استهلاک انرژی نمونه 0 CINF-0 در مقایسه

۴- نتیجه گیری

به عنوان مهم‌ترین یافته این تحقیق می‌توان گفت ارائه اتصال دهنده مناسب و قابل اعتماد برای اتصال دیوار میان قاب به قاب، یک اقدام ساختمانی منطقی در راستای پیشگیری از تاثیرات نامطلوب اثر اندرکنش قاب و میان قاب و به کارگیری اثرات مثبت آن در قاب‌های میان پر است. بر اساس نتایج تجربی اتصال دهنده V شکل رفتار تعاملی خوب و قابل اطمینانی را از نظر ایمنی از خود نشان داد. نتایج آزمایش‌های داخل صفحه نشان دادند، با داشتن چنین اتصال دهنده‌ای با سالم ماندن میان قاب تا رانش نسبی معادل سطح عملکرد ایمنی جانی (رانش نسبی طبقه $\frac{2}{5}$ ٪) [۳۹] مقاومت قاب میان پر افزایش می‌یابد. همچنین از نتایج به کارگیری اتصال دهنده V شکل عملکرد دو سطحی میان قاب است که به وسیله آن زوال سختی و کاهش مقاومت قاب بعد از رانش نسبی $\frac{2}{5}$ ٪ جبران می‌شود.

نتایج آزمایش‌های خارج از صفحه تأثیر مثبت اتصال دهنده V شکل را در حفظ انسجام و پایداری خارج از صفحه میان قابی را که ابتداء تا رانش نسبی طبقه ۴٪ در داخل صفحه به صورت چرخه‌ای بارگذاری شده بود و سپس تحت بارگذاری چرخه‌ای خارج از صفحه قرار گرفت، به خوبی نشان داد. این اتصال دهنده میزان خسارت ناشی از بارگذاری داخل صفحه در میان قاب را کاهش داد همچنین موجب تغییر در الگوی شکست داخل صفحه میان قاب گردید. در نتیجه میزان انطباق الگوی رسید و این موضوع باعث بهبود رفتار خارج از صفحه میان قاب گردید. بنابراین اتصال دهنده V شکل را می‌توان به عنوان یک اتصال دهنده قابل اعتماد و کارآمد بین دیوار میان قاب و قاب استفاده کرد.

منابع

- [1] S. Polyakov, On the interaction between masonry filler walls and enclosing frame when loaded in the plane of the wall, Translations in earthquake engineering, 2(3) (1960) 36-42.
- [2] B. Stafford Smith, C. Carter, A method of analysis for infilled frames, Proceedings of the institution of civil engineers, 44(1) (1969) 31-48.
- [3] M. Holmes, Steel frames with brickwork and concrete infilling, proceedings of the Institution of civil Engineers, 19(4) (1961) 473-478.

حلقه‌هایی در منحنی هیسترزیس قاب‌های میان پر می‌تواند مشخصه سیستم‌های باشد که دیوار میان قاب آن‌ها در معرض ترک خوردگی قرار گرفته‌اند. در بحث قاب‌های میان پر، به منظور امنیت فضاهای و محیط ساخته شده، سیستم‌هایی که توانایی جذب انرژی بیشتر بدون گسترش خسارت در میان قاب را دارند، مقبولیت دارد.

بنابراین ظرفیت بالای استهلاک انرژی قاب میان پر برای مستهلاک کردن انرژی ناشی از وقوع زمین لرزه زمانی کارآیی مناسب خواهد داشت که میان قاب دچار خسارت نشود. هر چند نمونه‌های CINF-0 ظرفیت استهلاک انرژی بالایی داشتند ولی در طول آزمایش تا رانش نسبی طبقه $\frac{2}{5}$ ٪ به شدت خسارت دیدند، (شکل ۷-ج). توانایی بیشتر استهلاک انرژی نمونه CINF-V در مقایسه با نمونه قاب خالی BF از نتایج قابل توجه در شکل ۱۴ است. این در حالی است که در میان قاب نمونه CINF-V تا رانش نسبی طبقه $\frac{3}{4}$ ٪ هیچ‌گونه خسارتی ثبت نشد.

۵- پروفیل جابه‌جایی خارج از صفحه

جابه‌جایی خارج از صفحه دیوار میان قاب در طول آزمایش برای تمام نمونه‌ها در سه بخش مختلف (الف) سمت چپ، (ب) مرکز و (ج) سمت راست و در پنج ارتفاع مختلف ($h_4 = h_3 = \frac{1}{2}h_{wall}$, $h_2 = \frac{1}{4}h_{wall}$, $h_1 = 0m$) اندازه‌گیری شدند. شکل ۱۵ پروفیل جابه‌جایی خارج از صفحه میان قاب نمونه‌ها را در مقایسه با پروفیل جابه‌جایی خارج از صفحه نمونه بدون آسیب قبلی WNPD در سه بخش مختلف (الف) سمت چپ، (ب) مرکز و (c) سمت راست، به هنگام اعمال حداکثر بار خارج از صفحه در نقطه مرکزی میان قاب، نشان می‌دهد.

پروفیل جابه‌جایی خارج از صفحه میان قاب نمونه‌ها را در مقایسه با پروفیل جابه‌جایی خارج از صفحه نمونه بدون آسیب قبلی WNPD نشان می‌دهد نمودار پروفیل جابه‌جایی خارج از صفحه نمونه CINF-V موقع اعمال حداکثر بار خارج از صفحه در نقطه مرکزی میان قاب، با نمودار پروفیل جابه‌جایی خارج از صفحه نمونه WNPD (نمونه بدون آسیب قبلی) از نظر ظاهری شبیه است و هیچ‌گونه ناپیوستگی در نمودار پروفیل جابه‌جایی خارج از صفحه این نمونه که بیانگر از بین رفتان انسجام و پایداری خارج از صفحه دیوار میان قاب آن، به علت آسیب قبلی ناشی از بارگذاری داخل صفحه باشد، وجود ندارد.

- Structures, 105 (2015) 197-208.
- [16] H. Moghaddam, Lateral load behavior of masonry infilled steel frames with repair and retrofit, Journal of structural engineering, 130(1) (2004) 56-63.
- [17] K.M. Amanat, M.M. Alam, M.S. Alam, Experimental investigation of the use of ferrocement laminates for repairing masonry in filled RC frames, Journal of Civil Engineering (IEB), 35(2) (2007) 71-80.
- [18] M. Mohammadi, R.M.G. Mahalleh, A new infilled steel frame with engineering properties, Proceedings of the Institution of Civil Engineers-Structures and Buildings, 165(1) (2012) 15-25.
- [19] D. Markulak, I. Radić, V. Sigmund, Cyclic testing of single bay steel frames with various types of masonry infill, Engineering structures, 51 (2013) 267-277.
- [20] P. Morandi, R. Milanesi, G. Magenes, Innovative solution for seismic-resistant masonry infills with sliding joints: in-plane experimental performance, Engineering Structures, 176 (2018) 719-733.
- [21] R.-S. Ju, H.-J. Lee, C.-C. Chen, C.-C. Tao, Experimental study on separating reinforced concrete infill walls from steel moment frames, Journal of Constructional Steel Research, 71 (2012) 119-128.
- [22] S.J. Hashemi, J. Razzaghi, A.S. Moghadam, Behaviour of sandwich panel infilled steel frames with different interface conditions, Proceedings of the Institution of Civil Engineers-Structures and Buildings, 171(2) (2018) 166-177.
- [23] S. Schwarz, A. Hanaor, D. Yankelevsky, Experimental response of reinforced concrete frames with AAC masonry infill walls to in-plane cyclic loading, in: Structures, Elsevier, 2015, pp. 306-319.
- [24] J. Wang, B. Li, Cyclic testing of square CFST frames with ALC panel or block walls, Journal of Constructional Steel Research, 130 (2017) 264-279.
- [25] A. Furtado, H. Rodrigues, A. Arêde, H. Varum, Experimental evaluation of out-of-plane capacity of masonry infill walls, Engineering Structures, 111 (2016) 48-63.
- [26] P. Ricci, M. Di Domenico, G.M. Verderame, [4] H. Barua, S. Mallick, Behaviour of mortar infilled steel frames under lateral load, Building and Environment, 12(4) (1977) 263-272.
- [5] J. Dawe, C. Seah, Y. Liu, A computer model for predicting infilled frame behaviour, Canadian Journal of civil engineering, 28(1) (2001) 133-148.
- [6] T. Liauw, C. Lo, On Multibay Infilled Frames, Proceedings of the Institution of Civil Engineers, 85(3) (1988) 469-483.
- [7] B.S. Smith, Model test results of vertical and horizontal loading of infilled frames, in: Journal Proceedings, 1968, pp. 618-625.
- [8] J. Dawe, Y. Liu, C. Seah, A parametric study of masonry infilled steel frames, Canadian Journal of Civil Engineering, 28(1) (2001) 149-157.
- [9] H. Elshafie, A. Hamid, E.-s. Nasr, Strength and stiffness of masonry shear walls with openings, The Masonry Society Journal, 20(1) (2002) 49-60.
- [10] A. Tasnimi, A. Mohebkhah, Investigation on the behavior of brick-infilled steel frames with openings, experimental and analytical approaches, Engineering Structures, 33(3) (2011) 968-980.
- [11] M. Kaltakci, A. Köken, H. Korkmaz, Analytical solutions using the equivalent strut tie method of infilled steel frames and experimental verification, Canadian Journal of Civil Engineering, 33(5) (2006) 632-638.
- [12] M. RJ, On the stiffness and strengths of infilled frame, Proceedings Institution of Civil Engineers, Supplement IV, (1971) 57-90.
- [13] M.L. Albert, A.E. Elwi, J.R. Cheng, Strengthening of unreinforced masonry walls using FRPs, Journal of Composites for Construction, 5(2) (2001) 76-84.
- [14] S. Altın, Ö. Anıl, Y. Kopraman, Ç. Belgin, Strengthening masonry infill walls with reinforced plaster, Proceedings of the Institution of Civil Engineers-Structures and Buildings, 163(5) (2010) 331-342.
- [15] A. Dehghani, F. Nateghi-Alahi, G. Fischer, Engineered cementitious composites for strengthening masonry infilled reinforced concrete frames, Engineering

- [33] ASTM, Standard test methods and definitions for mechanical testing of steel products, in: (ASTM A 370-11), West Conshohocken, PA, US 2011.
- [34] ASTM, Standard Specification for Precast Autoclaved Aerated Concrete (AAC) Wall Construction Units, in: ASTM C 1386-07, West Conshohocken, PA, US 2009.
- [35] ASTM, Standard Test Methods for Compressive Strength of Masonry Prisms, in: ASTM C 1314-07, West Conshohocken, PA, US 2009.
- [36] ASTM, Standard Test Method for Diagonal Tension (Shear) in Masonry Assemblages, in: ASTM E519/E519M-10, West Conshohocken, PA, US 2009.
- [37] E. DIN, 1052-3: 2002-10: Methods of test for masonry. Part 3: Determination of initial shear strength, in, Beuth Verlag, Berlin, 2007.
- [38] A.T. Council, M.-A.E. Center, M.C.f.E.E. Research, P.E.E.R. Center, N.E.H.R. Program, Interim Testing Protocols for Determining the Seismic Performance Characteristics of Structural and Nonstructural Components, Federal Emergency Management Agency, 2007.
- [39] FEMA 356, Prestandard and commentary for the seismic rehabilitation of buildings, ASCE, 2000.
- [40] S.J. Hashemi, J. Razzaghi, A.S. Moghadam, P.B. Lourenço, Cyclic testing of steel frames infilled with concrete sandwich panels, Archives of Civil and Mechanical Engineering, 18 (2018) 557-572.
- Experimental assessment of the in-plane/out-of-plane interaction in unreinforced masonry infill walls, Engineering Structures, 173 (2018) 960-978.
- [27] V. Palieraki, C. Zeris, E. Vintzileou, C.-E. Adami, In-plane and out-of plane response of currently constructed masonry infills, Engineering Structures, 177 (2018) 103-116.
- [28] C. Butenweg, M. Marinković, R. Salatić, Experimental results of reinforced concrete frames with masonry infills under combined quasi-static in-plane and out-of-plane seismic loading, Bulletin of Earthquake Engineering, 17(6) (2019) 3397-3422.
- [29] M.T. De Risi, M. Di Domenico, P. Ricci, G.M. Verderame, G. Manfredi, Experimental investigation on the influence of the aspect ratio on the in-plane/out-of-plane interaction for masonry infills in RC frames, Engineering Structures, 189 (2019) 523-540.
- [30] A. Furtado, H. Rodrigues, A. Arêde and H. Varum, Out-of-plane behavior of masonry infilled RC frames based on the experimental tests available: A systematic review, Construction and Building Materials, 168 (2018) 831-848.
- [31] American Institute of Steel Construction (AISC), Specification for Structural Steel Buildings, Standard ANSI/AISC 360-10, Chicago, IL, 2010.
- [32] American Institute of Steel Construction (AISC), Seismic Provisions for Structural Steel Buildings, Standard ANSI/ AISC 341-10, Chicago, IL, 2010.

چگونه به این مقاله ارجاع دهیم

S. A. Asadzadeh, M. Mohammadi, N. K. A. Attari, S. A. Zareei, Experimental Study on Finding Reliable Connectors for Infill-frame Connection in Infilled Steel Frame, Amirkabir J. Civil Eng., 53(12) (2022) 5259-5280.

DOI: [10.22060/ceej.2021.18761.6953](https://doi.org/10.22060/ceej.2021.18761.6953)



